



Campo di ELETTRA

Aggiornamento al 31/12/16

Il campo di Elettra è situato nella concessione B.C23.AG (Eni 100%) della zona “B” dell’offshore Adriatico a circa 53 Km dalla costa marchigiana come evidenziato in Figura 1. In quest’area la profondità media del fondale è di circa 80 m.

CONCESSIONE	SCADENZA	OPERATORE	TITOLARI	QUOTA	REGIONE
B.C23.AG	21/09/26	Eni	Eni	100%	MARCHE

Il campo è stato scoperto nel 1995 con la perforazione del pozzo esplorativo Elettra 1, che ha raggiunto la profondità di 1325 m RT risultando mineralizzato a gas in numerosi livelli sabbiosi della Formazione Carola (Pleistocene) compresi fra 660 e 1130 m RT (Figura 2). Nel 2003 è stato perforato il pozzo appraisal Elettra 2 che ha raggiunto la profondità di 1228 m RT (Formazione Santerno – Pliocene Superiore) ed è risultato mineralizzato a gas tra i 771 e i 1126 m RT nella Formazione Carola. Il pozzo aveva lo scopo di verificare i contatti (GWC e GDT) e l’estensione dei livelli a gas scoperti con il pozzo 1, ma ha trovato gas solo in 13 dei 29 livelli mineralizzati in Elettra 1. Entrambi i pozzi (Elettra 1 ed Elettra 2) sono stati chiusi e abbandonati.

La struttura Elettra è costituita da una blanda anticlinale con asse principale orientato Nord-Sud, e con chiusura su 4 vie costituita da alternanze torbiditiche sabbioso-argillose della Formazione Carola che diventano talora molto fitte. I livelli, di spessore variabile da 0,4 m a circa 6 m, sono caratterizzati dalla presenza di sistemi canalizzati (lobi e canali) e da sistemi torbiditici a strati sottili. Il giacimento è stato sviluppato nel periodo aprile-agosto 2014, perforando dalla piattaforma Elettra di tipo tripode, il pozzo Elettra 3 completato in doppio con tecnologia “sand control”, del tipo ICGP GIF e HRWP.

Il campo è stato posto in produzione ad agosto 2014.

I cinque livelli principali, in termini di volumi di gas in posto, sono: PLQ1-Abis, PLQ1-Cbis, PLQ1-AEbis, PLQ1-AE1 e PLQ1-FI1 per un complessivo GOIP Certo + Probabile di 595,2 MSm³ (*modello di giacimento: rel.GISE 26/10 dell’agosto 2010*). In tali livelli è concentrato il 50,6 % del GOIP Certo + Probabile di tutto il campo (GOIP totale 1175 MSm³).



La previsione di produzione per lo scenario di riferimento "Certo+Probabile" stima in 470 MSm³ (Figura 3) il volume cumulativo di gas producibile in 12 anni; per un fattore di recupero, quindi, del 79% (sul GOIP sviluppato). Il pozzo Elettra 3 è stato allacciato con *tie-in* sottomarino al tratto di sealine che collega la piattaforma Bonaccia con quella di Calpurnia. Nel corso del 2013 è stato nuovamente aggiornato il modello dinamico di giacimento (rel. *Eni-GISE n.11/2013: Clara Complex – campi: Calipso-Calpurnia-Clara Est-Clara Nord-Elettra. Aggiornamento del modello di giacimento per modello geomeccanico. Scheda Riassuntiva aprile 2013*) che conferma, nel caso di Elettra, quanto già previsto nel precedente modello dinamico del 2010.

Agli effetti degli studi di giacimento e delle attività di monitoraggio, il campo di Elettra è stato incluso per la sua vicinanza nel complesso costituito dai campi del "*Clara Complex*" (Clara Est-NW, Clara Nord, Calpurnia) e dal campo di Calipso. Per tale complesso si eseguirà nel 2017 uno studio integrato che ne svilupperà un nuovo modello (statico e dinamico) di giacimento.

In Figura 4 sono riportati gli andamenti storici della portata di gas (kSm³/g), d'acqua (m³/g) e della produzione cumulativa di gas pari a 267 Mm³ al 31/12/16.

In Figura 5 è presentato il confronto tra i profili di pressione calcolati da modello Eclipse 2013 e le misure di pressione registrate nei livelli PLQ1-Abis+C+Cbis che mostrano un carattere conservativo delle previsioni modellistiche.

Nel corso del 2010, nell'ambito della documentazione tecnica (SIA) preparata per l'istanza concernente il progetto di sviluppo di Elettra, si è realizzato un unico modello geomeccanico integrato con i vicini campi del *Clara Complex* e di Calipso, al fine di valutare eventuali interazioni di tipo idraulico e/o meccanico fra gli stessi e prevedere l'eventuale subsidenza indotta dalla loro coltivazione. Tale previsione è stata fatta con il modello FEM Isamgeo relativamente a tre diversi scenari di compressibilità (rel. *Eni-Tera: Campi del Clara Complex, Calipso ed Elettra - Modello Elasto-Plastico di Subsidenza-Management Summary - agosto 2010*).

Le simulazioni con modello sono state protrate fino al 2054 onde tener conto degli effetti dell'evoluzione della pressione nelle zone mineralizzate e in acquifero dopo la fine della produzione. Per lo scenario di riferimento (C_m_Med), ritenuto il più probabile, la subsidenza massima prevista per Elettra è stata stimata in 16 cm al 2054. Per quanto riguarda la di-



stanza dalla costa della curva d'isosubsidenza di 2 cm, corrispondente alla massima estensione del cono di subsidenza relativo ai 5 campi, è risultata essere di circa 32 km.

Un ulteriore aggiornamento/taratura del modello geomeccanico del 2010 è stato fatto nel dicembre 2011, previa revisione del modello di giacimento 3D Eclipse dei campi dell'area (*Clara Complex*, Calipso ed Elettra). Quest'ultima revisione si è resa necessaria per tener conto sia del nuovo progetto di sviluppo "Clara NW" che ipotizzava la perforazione di 4 nuovi pozzi in corrispondenza di una culminazione secondaria (NW) di Clara Est, sia dei nuovi dati disponibili a seguito della campagna di workover del 2011 sui pozzi dei campi di Calpurnia e di Clara Nord.

Con questi nuovi studi di giacimento (statici, dinamici e geomeccanici) si sono voluti valutare gli effetti di eventuali interazioni di tipo idraulico e/o meccanico fra campi del *Clara Complex*, di Calipso ed Elettra (rel. *Eni-Tera: Campi del Clara Complex, Calipso ed Elettra - Modello Elasto-Plastico di Subsidenza-Management Summary - dicembre 2011*). Nel corso delle simulazioni con modello geomeccanico si sono considerati 3 possibili scenari per il valore del coefficiente di compressibilità (C_m), che a loro volta hanno generato altrettanti scenari previsionali di subsidenza i cui risultati oscillano nell'intorno di un valore medio all'interno di una banda di confidenza.

Il nuovo studio ha sostanzialmente confermato per il campo di Elettra le conclusioni di quello del 2010, con una stima della subsidenza massima per lo scenario ritenuto più probabile (C_{m_Med}) di 15 cm al 2060.

Per lo scenario (C_{m_Upper}) più pessimistico e per tutti gli altri scenari considerati nello studio, la linea d'isosubsidenza dei 2 cm si è sempre mantenuta a una distanza dalla costa superiore ai 32 km.

Come accennato in precedenza, è stato nuovamente aggiornato nel 2013 il modello dinamico di giacimento dei campi dell'area (rel. *Eni-GISE n.11/2013: Clara Complex – campi: Calipso-Calpurnia-Clara Est-Clara Nord-Elettra. Aggiornamento del modello di giacimento per modello geomeccanico. Scheda Riassuntiva aprile 2013*) a supporto del nuovo progetto di sviluppo "Clara SE", che prevede l'installazione di una nuova piattaforma di produzione e la perforazione di due nuovi pozzi (Clara Est 14D e Clara Est 15D). Anche in quest'ultimo caso l'aggiornamento è stato fatto tenendo conto delle possibili interazioni di natura idraulica e meccanica fra i campi stessi.



Un nuovo modello geomeccanico 3D a elementi finiti (rel. *Eni-Tera: Campi del Clara Complex, con il nuovo sviluppo "Clara Sud-Est", Calipso ed Elettra - Modello Elasto-Plastico di Subsidenza-Management Summary - settembre 2013*) è stato poi finalizzato per valutare l'entità della subsidenza e l'estensione del relativo cono indotti dalla produzione complessiva dei campi sopracitati.

Ancora una volta le simulazioni fatte hanno preso in esame tre diversi scenari di compressibilità: i relativi risultati sono riportati in Tabella 1 per gli anni ritenuti più significativi durante e dopo la vita produttiva dei campi. Lo studio, infatti, è stato protratto fino al 2065 (fine simulazione) in modo da considerare l'effetto dell'evoluzione della pressione nelle regioni mineralizzate e in acquifero dopo la fine della produzione.

Tabella 1– Risultati finali: massima subsidenza (espressa in cm) per tutti gli scenari

Scenario	2013	2021	2026	2035	2065
Cm_Med	51	68	67	65	62
Cm_Upper	68	92	90	88	84
Cm_Lower	11	15	15	15	16

Nel caso ritenuto più probabile (scenario di compressibilità Cm_Med), la subsidenza massima prevista per tutta l'area in esame si verifica in corrispondenza del campo di Clara Nord ed è risultata pari a 68 cm al 2021; tale valore si riduce a circa 62 cm a fine simulazione.

Per quanto riguarda Elettra, la subsidenza massima (nel caso Cm_Med) risulta pari a 18 cm al 2065, valore in sostanziale accordo con le stime dei modelli precedenti.

Anche in questo nuovo aggiornamento del modello geomeccanico la linea d'isosubsidenza dei 2 cm si mantiene per tutti gli scenari considerati a una distanza dalla costa sempre superiore a 32 km (Figura 6).

Un nuovo modello geomeccanico per valutare e prevedere la subsidenza indotta dalla produzione di gas di tutti i campi dell'area (Clara Complex, Calipso ed Elettra) è programmato per il 2017, una volta completato il relativo studio di giacimento di cui si detto in precedenza.



Il fatto che tutti gli studi geomeccanici sino ad ora eseguiti per valutare i possibili effetti d'interferenza idraulica e meccanica fra i campi dell'area in esame concordino nel prevedere che il fenomeno della subsidenza si esaurisca a grande distanza dalla costa (circa 32 km), ha una spiegazione nel particolare assetto geologico dell'area stessa, come del resto già accennato in precedenza.

Tale assetto, rappresentato nello sketch stratigrafico-strutturale di Figura 7 e basato su un'interpretazione sismica controllata con dati di pozzo, definisce uno schema di rapporti verticali e laterali tra le formazioni che costituiscono i giacimenti (reservoir e copertura) e il substrato che limitano l'estensione del fenomeno subsidenziale verso costa.

Infatti, lungo la direttrice esaminata (WSW-ENE) in direzione della costa, i livelli mineralizzati si chiudono per limite deposizionale in onlap sui livelli argillosi della F.ne Santerno che rappresenta un'importante barriera idraulica verso costa.

Il substrato dell'offshore anconetano presenta, inoltre, una successione carbonatica pre-priocenica posta talora a poche centinaia di metri di profondità – (pozzo Brezza 1 – Figura 7), che localmente affiora sulla costa (promontorio M.te Conero) in corrispondenza di alti strutturali appenninici, mentre la successione terrigena di copertura è relativa a intervalli stratigrafici differenti dalle zone reservoir del *Clara Complex* e campi limitrofi. Tutto ciò limita sensibilmente la possibilità che si possa verificare una depressurizzazione e conseguente compattezza dei sedimenti sulla costa e nelle fasce antistanti al litorale.

E', pertanto, del tutto comprensibile, che:

- sia per la presenza di tale barriera idraulica di tipo sedimentologico-strutturale interposta tra il complesso dei giacimenti in esame e la costa,
- sia per l'elevata distanza dei giacimenti stessi dalla costa (ad es. 45 km per Clara Est e 53 km per Elettra),

in tutte le previsioni il fenomeno di subsidenza si esaurisca rapidamente in direzione della costa e, quindi, la distanza del cono di subsidenza dalla costa stessa risulti elevata (almeno 32 km).

Tra la fine del 2007 e l'inizio del 2008 è stato eseguito un rilievo batimetrico multi-beam di un'area (1662 km²) comprendente i campi del *Clara Complex*, Calipso ed Elettra (Figura 8). Tale rilievo, che rappresenta di fatto l'assetto batimetrico del fondale nell'area di Elettra an-



tecedente lo sviluppo del campo (2014), mostra in questo settore un andamento molto articolato e decisamente irregolare del fondale marino, con la presenza di una ripida scarpata morfologica che ribassa tutto il settore sud-orientale del rilievo. Tale assetto morfologico non consente di evidenziare in modo chiaro alcuna anomalia batimetrica significativa riconducibile alla subsidenza indotta dalla coltivazione dei vicini campi del Clara Complex e Calipso (rel. *Eni-Università di Urbino dell'agosto 2008 trasmessa a MATTM in data 11/11/2008 - prot.UGIT ET/mv 1410*). Un rilievo successivo da confrontarsi con quello base del 2008, sarà pianificato quando la subsidenza sul fondale, misurata con il CGPS in piattaforma, sarà tale da essere sicuramente superiore alla precisione della misura batimetrica.

A partire dai primi anni '70, Eni ha progettato e realizzato lungo la costa adriatica una rete di livellazione geometrica che, su richiesta degli Enti di Controllo a livello regionale e nazionale (Regione Emilia Romagna, Provincia di Ravenna, Comune di Ravenna e Ministero dell'Ambiente), viene rilevata da oltre un decennio con cadenza periodica. A partire dalla campagna 2011, dopo un intervallo di un anno nel 2010 (anno in cui non sono state fatte livellazioni), tale periodicità ha una cadenza triennale come raccomandato nelle "*Linee Guida per lo Studio dei Fenomeni di Subsidenza nell'Ambito dei Progetti di Sviluppo Sostenibile di Campi ad Olio e Gas*" emesse dal Dip. DMMMSA dell'Università di Padova nel 2007.

Le specifiche tecniche adottate sono quelle ora in uso per i rilievi della rete Eni e rispettano le indicazioni contenute nelle già citate linee guida emesse dall'Università di Padova.

Eni, inoltre, ha affidato la certificazione della documentazione e della metodologia utilizzata a un ente esterno, che attualmente è il Dipartimento DICAM dell'Università di Bologna.

La rete di livellazione, rilevata nel 2014 (ultimo rilievo fatto), è suddivisa nelle seguenti aree di attività:

- dorsale Adriatica, da Treviso fino a Pesaro, compreso lo sviluppo degli sbracci sul delta del Po, per un totale di circa 1100 km di sviluppo lineare;
- tratto da Pesaro a P.to San Giorgio, per un totale di circa 220 km di sviluppo lineare;
- tratto Marche-Abruzzo, da P.to San Giorgio a Pescara, per un totale di circa 110 km di sviluppo lineare.

Le operazioni si sono svolte nel periodo compreso tra giugno e ottobre 2014 sotto la diretta supervisione di tecnici Eni e degli esperti dell'ente certificatore.



Si ritiene opportuno sottolineare che, sebbene vi siano punti di contatto tra i vari tratti di livellazione afferenti alla rete Eni, allo stato attuale non è possibile utilizzare in modo congiunto i valori di quota ottenuti sulle singole reti, a causa della disomogeneità tra i capisaldi origine delle tre reti di livellazione. Per ovviare a tale situazione, determinata da fattori ambientali (grandi distanze), su suggerimento dell'ente certificatore è stata realizzata una linea di stazioni permanenti CGPS disposte a distanze regolari tra Pineto e P.to Sant'Elpidio che, con il consolidamento dei dati GPS, costituiranno una serie di capisaldi origine omogenei, tali da consentire d'ottenere misure di quota fra loro consistenti da Treviso a Pescara.

Nel tratto di costa antistante alla piattaforma Elettra, con l'acquisizione della campagna 2014 sono in totale disponibili 6 campagne di livellazione fatte negli anni 2006, 2007, 2008, 2009, 2011 e 2014. Si tratta complessivamente di una serie di misure ancora poco consolidata; il loro esame può consentire valutazioni d'ordine generale in merito alla velocità media di subsidenza del periodo 2006-2014, ma non può ancora essere considerato del tutto esaustivo ai fini del monitoraggio della costa che, comunque, è garantito da altri tipi di rilievo.

Nei prossimi anni, con nuove campagne di misura (il prossimo rilievo è previsto nel 2017) e con il consolidamento dei dati GPS e dei rilievi SAR, sarà possibile fare interpretazioni più sicure dei dati di livellazione anche per il tratto a sud di Pesaro.

Si deve, inoltre, osservare che i dati di livellazione, misurati sul singolo caposaldo, non sono di solito sufficienti per caratterizzare la distribuzione areale della subsidenza. Le misure sul singolo caposaldo, infatti, possono essere talvolta alterate da "disturbi" accidentali intervenuti nel tempo sul manufatto su cui i capisaldi stessi sono stati materializzati.

Al fine d'ottenere una rappresentazione areale della subsidenza o della velocità media di subsidenza di una certa area è necessario avere, quindi, misure di livellazione di più capisaldi, per la cui interpretazione può convenire poi una suddivisione in opportune classi di valori, come di seguito specificato.

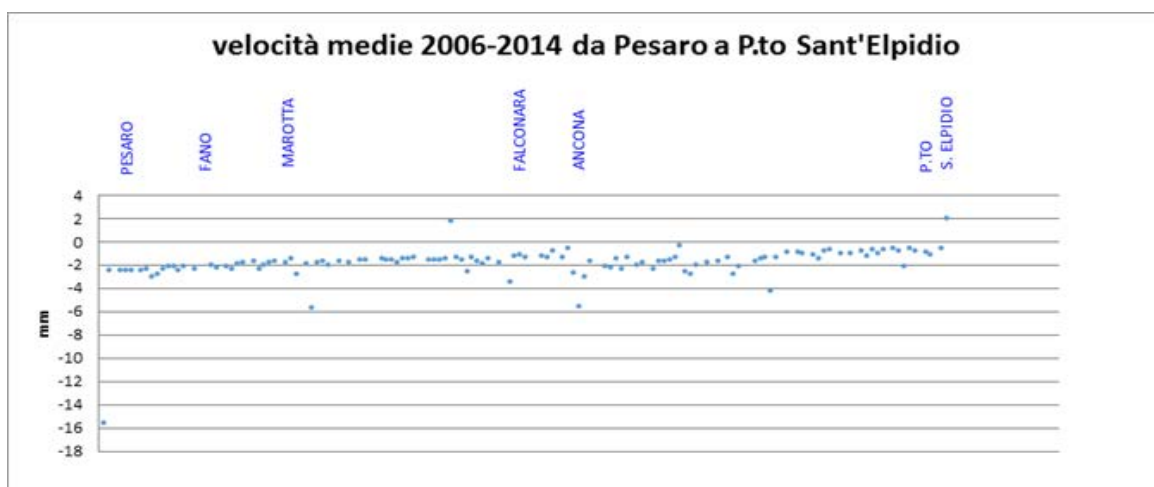
Per la tratta da Pesaro a P.to Sant'Elpidio le misure sui singoli capisaldi sono state elaborate tramite regressione lineare; le corrispondenti velocità medie annue d'abbassamento del suolo V_a^1 sono state poi raggruppate nelle seguenti 5 classi:

- classe 4: include i capisaldi con $V_a > 10$ mm/a;
- classe 3: include i capisaldi con $5 \leq V_a < 10$ mm/a;
- classe 2, include i capisaldi con $3 \leq V_a < 5$ mm/a;
- classe 1: include i capisaldi con $0 \leq V_a < 3$ mm/a;
- classe 0: include i capisaldi con $V_a < 0$ (sollevamento del suolo).

L'elaborazione con questo approccio delle misure di livellazione del periodo 2006-2014 mostra per l'area in esame un quadro di generale abbassamento (Figura A), caratterizzato però da valori poco significativi, ove si consideri che il 93% dei punti analizzati ricade nella classe 1 con una media pari a 1,6 mm/a.

I capisaldi per i quali si osservano alte velocità d'abbassamento (es. 15,6 mm/a nella zona di Pesaro), oppure fenomeni d'innalzamento del suolo (es. -2 mm/a nella zona di P.to Sant'Elpidio) sono scarsi di numero (1%) e isolati: sono, quindi, poco significativi dal punto di vista areale. Non si possono escludere fenomeni localizzati dovuti a instabilità dei capisaldi stessi, che saranno comunque oggetto di verifica nelle prossime campagne di misura.

Figura A – Tratta Pesaro-Sant'Elpidio: Misure di livellazione (periodo 2006-2014)



¹ Nel presente rapporto di norma le velocità di subsidenza (i.e di abbassamento della superficie) sono riportate con valori negativi. Per comodità d'interpretazione, però, nell'elenco che segue, come pure nei due paragrafi successivi, le velocità di subsidenza sono state rappresentate con valori positivi.



Il confronto tra i dati GPS delle stazioni ubicate nell'area in esame (Fano, Falconara e P.to San Giorgio) con le misure delle livellazioni mostra andamenti che, fatte salve le diverse precisioni in termini di ripetibilità, sono assolutamente compatibili.

Per completare il monitoraggio altimetrico del tratto di costa antistante alle piattaforme si è proceduto, inoltre, ad aggiornare la copertura SAR (settembre 2016) per un'analisi areale altimetrica integrata (Appendice 1) con i dati forniti dalle stazioni CGPS (Figura 9).

Le attività di monitoraggio sono state potenziate negli ultimi anni mettendo in opera un numero crescente di stazioni CGPS sulle piattaforme offshore. Dal 2007, infatti, ne sono state installate sulle piattaforme di Regina e Calpurnia (giugno 2007), di Anemone B (agosto 2007), di Annalisa (ottobre 2007), di Calipso, Tea-Lavanda-Arnica, Clara Est e Clara Nord (novembre 2007), di Barbara NW (gennaio 2008) e di Bonaccia (febbraio 2008), di Annamaria A e Annamaria B (gennaio 2010), di Clara W (ottobre 2010) e di Guendalina (agosto 2011). Le stazioni CGPS di Naide e PCC sono, invece, operative dal luglio 2005, mentre la postazione Naomi-Pandora è attiva dal giugno 2002. In tempi più recenti, sono state installate anche le nuove stazioni CGPS di Elettra (luglio 2014), di Fauzia (settembre 2014), di Bonaccia-NW (settembre 2015) e, infine, di Clara NW (marzo 2016).

Le serie storiche delle misure GPS acquisite nelle stazioni messe in opera nel periodo 2014 - 2016, sono però ancora troppo brevi per consentire valutazioni specifiche.

Il sistema di monitoraggio è stato poi ulteriormente potenziato con la costruzione lungo la costa, nel tratto prospiciente i campi sopracitati, di 3 nuove stazioni altimetriche SSU (Satellite Survey Unit) equipaggiate ciascuna con un CGPS, un caposaldo di livellazione geometrica e 2 bersagli radar solidalmente connessi tra loro tramite una trave di cemento armato.

Le 3 stazioni SSU sono state realizzate nelle Centrali Eni di Rubicone, di Fano e di Falconara nel dicembre 2007 (Appendice 2); negli stessi siti sono stati perforati tra ottobre e dicembre 2008 anche 3 pozzi assestometrici per il monitoraggio della compattazione superficiale del terreno. Tali stazioni si sono aggiunte a quelle preesistenti, installate più a Nord lungo la costa ravennate nelle località di Fiumi Uniti, di Smarlacca e di Spinaroni.



Inoltre, come detto in precedenza, sono state monumentate altre 4 stazioni CGPS in Ortona, Pineto, Grottammare e P.to Sant'Elpidio, il cui completamento è avvenuto nel dicembre 2009, tutte equipaggiate con 2 bersagli radar e con un caposaldo di livellazione. Allo stato attuale la stazione di Ortona non è più operativa dal 19 aprile 2013 per l'alienazione dell'area. Nel novembre 2016 è stata, infine, messa in opera una nuova postazione CGPS a Miglianico (completata con i corner reflector nel mese di maggio 2017) e che, una volta acquisita e consolidata una serie storica sufficientemente lunga di misure, entrerà a fare parte delle stazioni utilizzate per il monitoraggio della stabilità della costa. Analogamente a quanto avviene per le livellazioni, anche i dati del monitoraggio CGPS sono validati da un ente esterno. Attualmente questa attività è svolta dall'Università degli Studi di Bologna, facoltà di Fisica.– Dipartimento di Fisica e Astronomia DIFAS.

A proposito dei monitoraggi CGPS è opportuno precisare che l'analisi e l'interpretazione degli andamenti nel tempo delle misure altimetriche da utilizzarsi per una verifica/taratura dei modelli previsionali di subsidenza, non possono essere considerate sufficientemente attendibili per dataset relativi a periodi di osservazione inferiori ai 36 mesi, come indicato dall'Ente che certifica tali dati con cadenza biennale.

L'Ente certificatore, infatti, verifica e valida i dati registrati al fine di poter disporre di un sufficiente d'osservazioni per il corretto inquadramento delle componenti periodiche, della loro incidenza sulle misure e per poter filtrare il "rumore" che per piccole velocità di subsidenza è dello stesso ordine di grandezza del valore del fenomeno fisico misurato.

Serie storiche di durata inferiore ai 36 mesi possono, quindi, essere utilizzate solo per confrontare il trend degli andamenti temporali delle misure altimetriche con quello dei valori calcolati da modello previsionale, qualora si abbia una subsidenza caratterizzata da valori di sufficientemente elevati. In questi casi sarà possibile monitorare solo eventuali anomalie di trend ma non procedere a un confronto diretto dei valori attesi da modello vs. i valori misurati.

In generale:

- dataset < 12 mesi: solo follow up per monitoraggio dei dati acquisiti;
- dataset di 12÷36 mesi e



- piccoli valori di subsidenza attesi: analisi tendenziale del fenomeno e monitoraggio delle anomalie verso il trend previsionale;
- grandi valori di subsidenza attesi: analisi tendenziale del fenomeno per calibrazione del modello previsionale;
- dataset > 36 mesi: analisi di trend e calibrazione dei modelli geomeccanici confrontando il dato di velocità di subsidenza misurato (depurato dalla velocità di subsidenza naturale) e i valori dei modelli previsionali.

Le elaborazioni sono state fatte con software scientifico Bernese 5.2, strategia OBS-MAX, utilizzando i prodotti finali (effemeridi precise e file del polo) messi a disposizione dall'IGS (International GNSS Service). Nel corso del 2013, a seguito del rilascio del nuovo sistema di riferimento, sono stati rielaborati tutti i dati secondo il sistema ITRF2008-IGB08, al quale fanno riferimento i grafici della presente relazione.

Per le nostre elaborazioni il sistema di riferimento è materializzato dalle stazioni appartenenti alla rete EUREF disponibili tra: Bucarest, Genova, Graz, Matera, Medicina, Padova, Penc, Sofia, Torino, Zimmervald. L'eliminazione degli outlier delle serie storiche è effettuata mediante test a 3 SIGMA iterativo.

Il monitoraggio CGPS per il campo di Elettra è stato avviato sulla piattaforma solo a fine luglio 2014: la serie di misure disponibile (29 mesi al dicembre 2016) non è, quindi, ancora sufficientemente consolidata per consentire una stima completamente attendibile della velocità di subsidenza totale. Si può osservare, tuttavia, come la serie storica fin qui acquisita (Figura 10 e Figura 11) sembri indicare un trend subsidenziale caratterizzato da una velocità dell'ordine di -23,6 mm/a, valore quasi identico a quello riportato nella precedente relazione d'aggiornamento (-23,3 mm/a al 2015).

A scopo puramente qualitativo, si sono confrontate poi le previsioni di subsidenza del modello geomeccanico del 2013 con le misure di subsidenza totale² rilevate dal CGPS

² La "subsidenza totale CGPS" rappresenta in questo caso l'abbassamento altimetrico che il fondale marino subisce in corrispondenza della piattaforma su cui è installato il CGPS. A determinare tale "subsidenza totale" concorrono vari fenomeni: la compattazione di strati profondi per estrazione di gas (subsidenza antropica), movimenti tettonici e costipazione naturale dei sedimenti (subsidenza naturale), compattazione dei sedimenti più superficiali a fondo mare per effetto del peso della piattaforma. Quest'ultimo fenomeno è evidente soprattutto nel periodo immediatamente successivo all'installazione della piattaforma stessa.



(Figura 12), senza che queste ultime siano state depurate dalla componente di subsidenza naturale. Nel limite dell'approssimazione dettata dalla limitata serie storica GPS, si può notare come già fin d'ora l'accordo fra le due serie di dati sia soddisfacente.

In conclusione, il campo di Elettra è stato inserito nella rete Eni di monitoraggio altimetrico della costa, così come richiesto dalle prescrizioni ministeriali. Pur tenendo conto del limitato periodo produttivo del campo, i monitoraggi fatti da Eni tendono a confermare che eventuali fenomeni di subsidenza connessi alla produzione di gas dai campi del *Clara Complex*, di Calipso e di Elettra non hanno alcun impatto sull'andamento altimetrico del tratto di costa monitorato.

Si segnala infine che:

- a) in Figura 13 viene presentata una scheda riassuntiva con i dati di campo e lo status dei monitoraggi;
- b) in Figura 14 viene presentato un particolare della rete di monitoraggio Eni.



Figura 1 - Ubicazione del Campo di Elettra

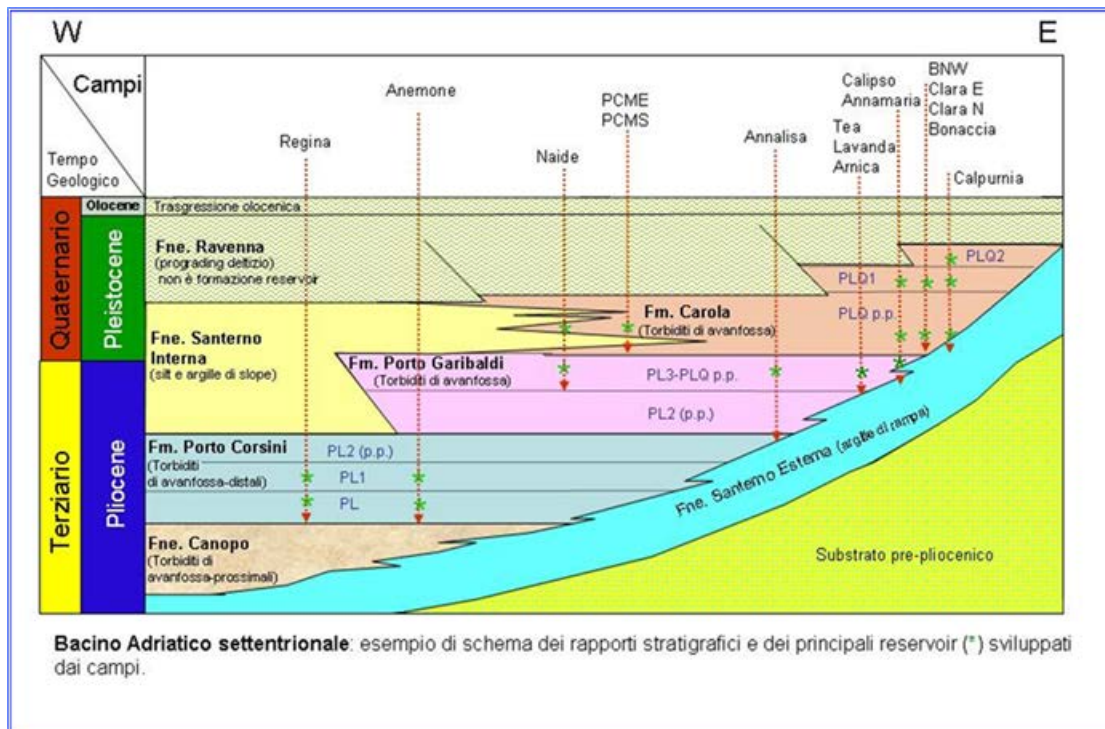
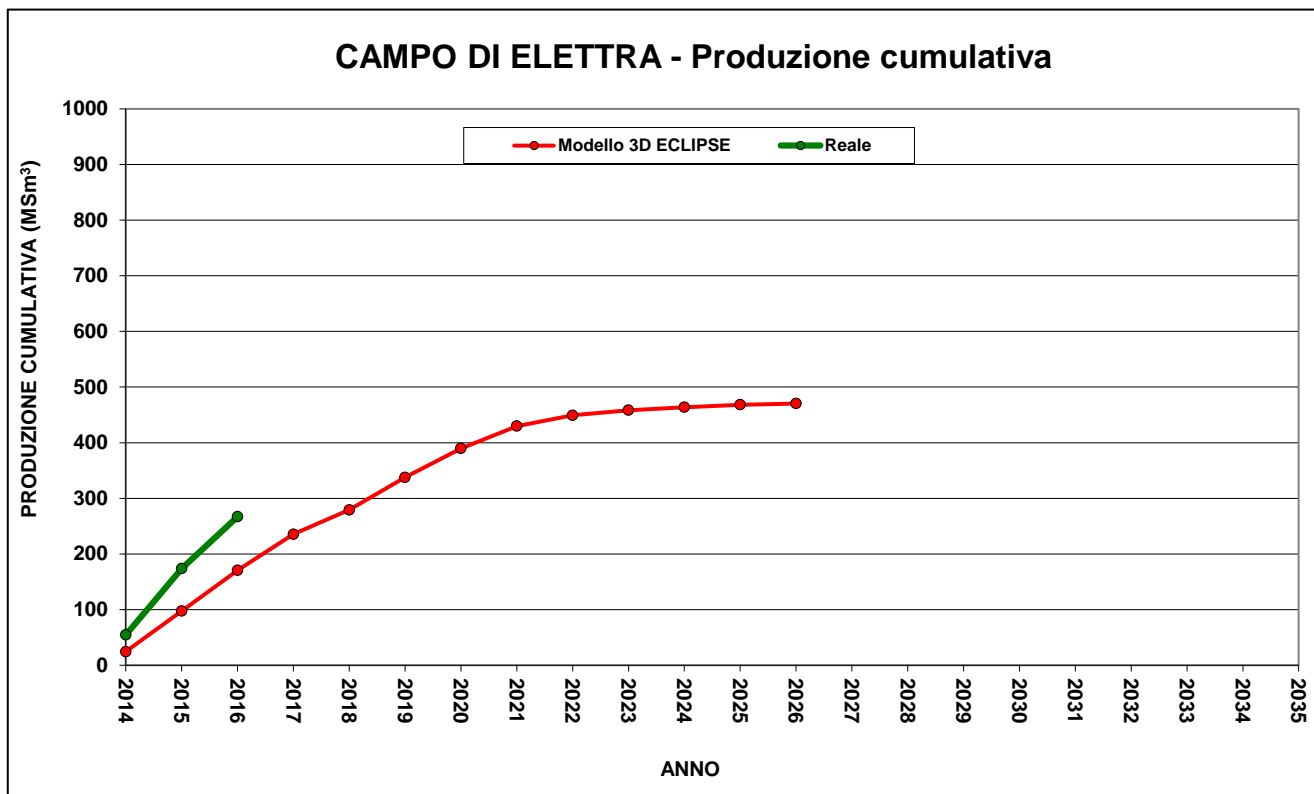


Figura 2 - Schema dei rapporti stratigrafici



CAMPO DI ELETTRA					
ANNO	Produzione annuale (MSm ³)		Produzione cumulativa (MSm ³)		Rapporto Produzione reale vs Riserve modello 3D ECLIPSE
	Reale	Modello 3D ECLIPSE	Reale	Modello 3D ECLIPSE	
2014	55	24	55	24	12%
2015	119	73	174	97	37%
2016	93	73	267	171	57%
2017		65		235	
2018		44		279	
2019		58		338	
2020		52		390	
2021		40		430	
2022		19		449	
2023		9		458	
2024		5		464	
2025		4		468	
2026		2		470	
2027					
2028					
2029					
2030					
2031					
2032					
2033					
2034					
2035					



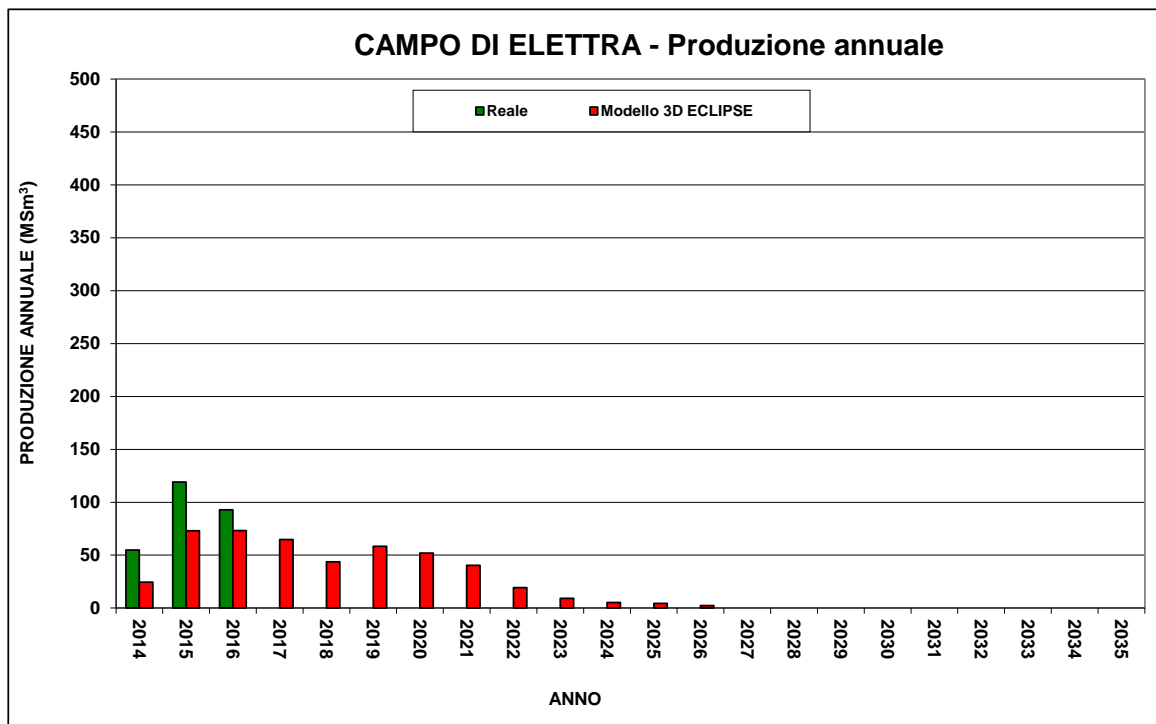


Figura 3 - Campo di Elettra: tabelle e grafici di produzione vs. modello Eclipse (2013)

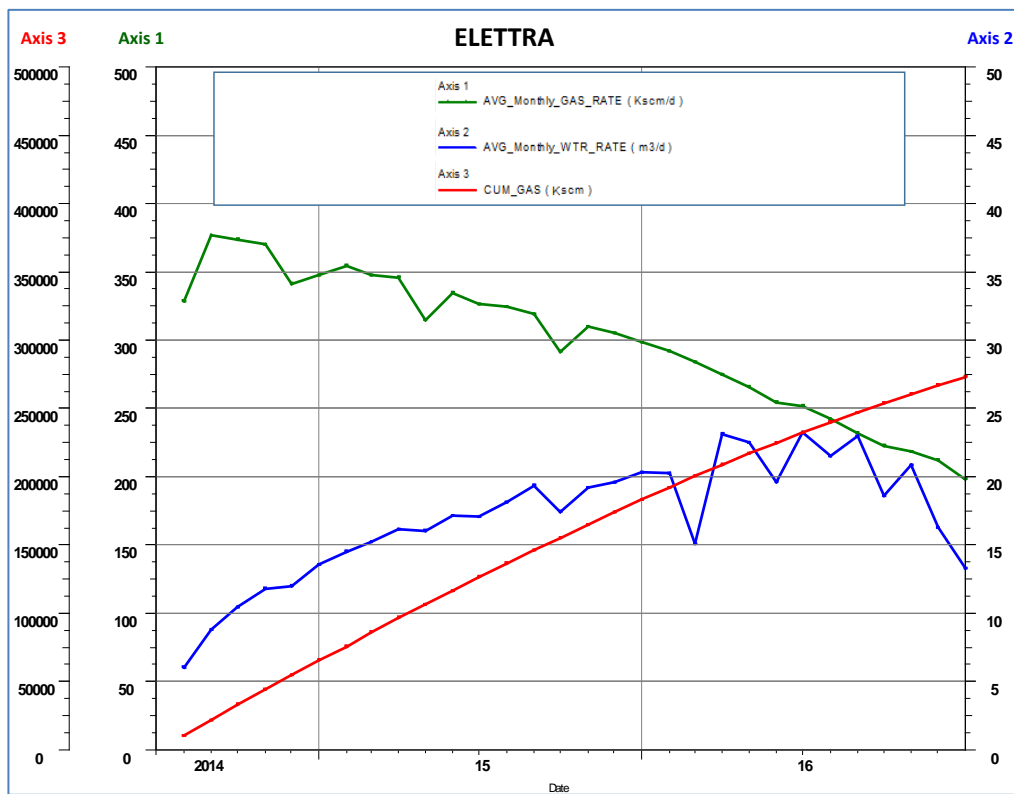


Figura 4 - Campo di Elettra: grafico di produzione storica



CAMPO DI ELETTRA			
Data	Livelli PLQ1-Abis+C+Cbis		
	Pressione (bara)	RFT in pozzo	Profilo in string
04/04/2003	85*	2	
30/10/2016	74		3C

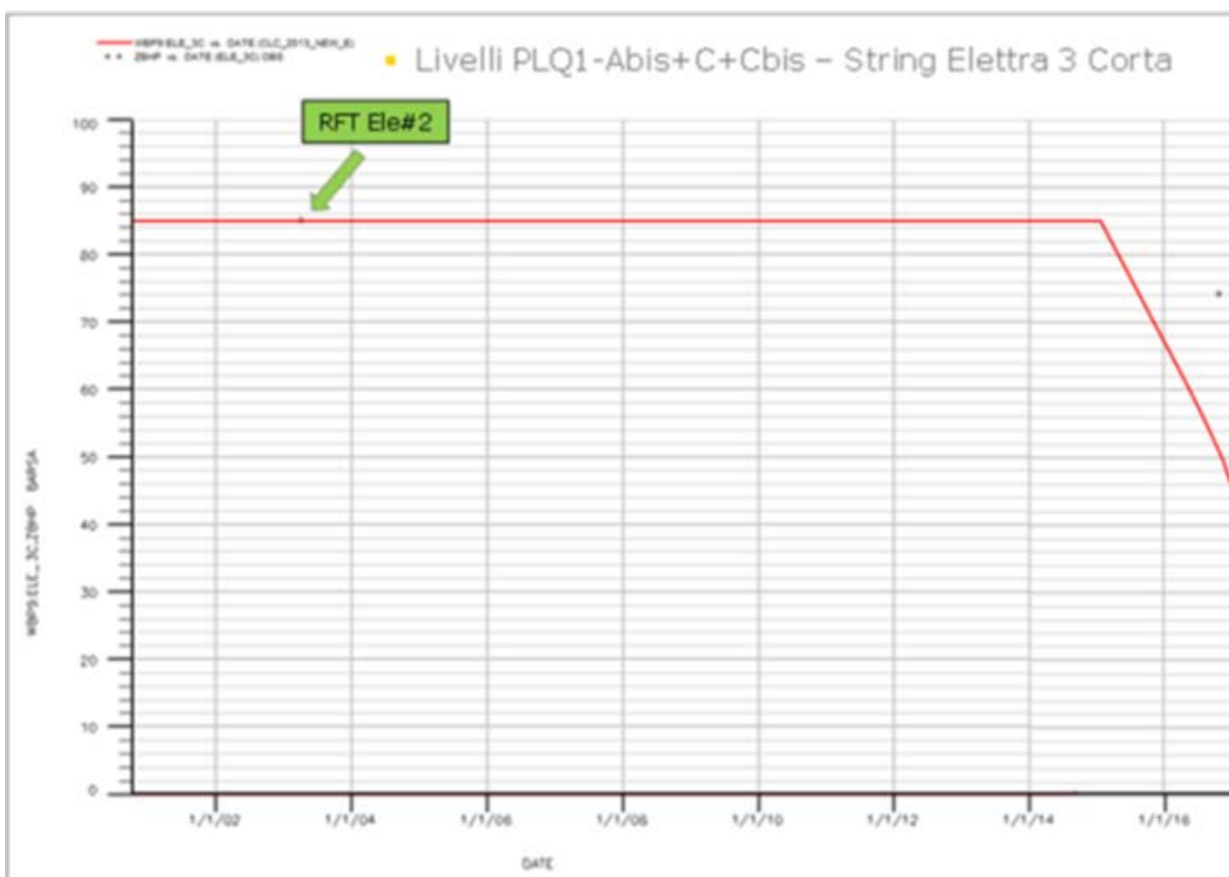


Figura 5 - Campo di Elettra: tabelle e grafici di produzione vs. modello Eclipse

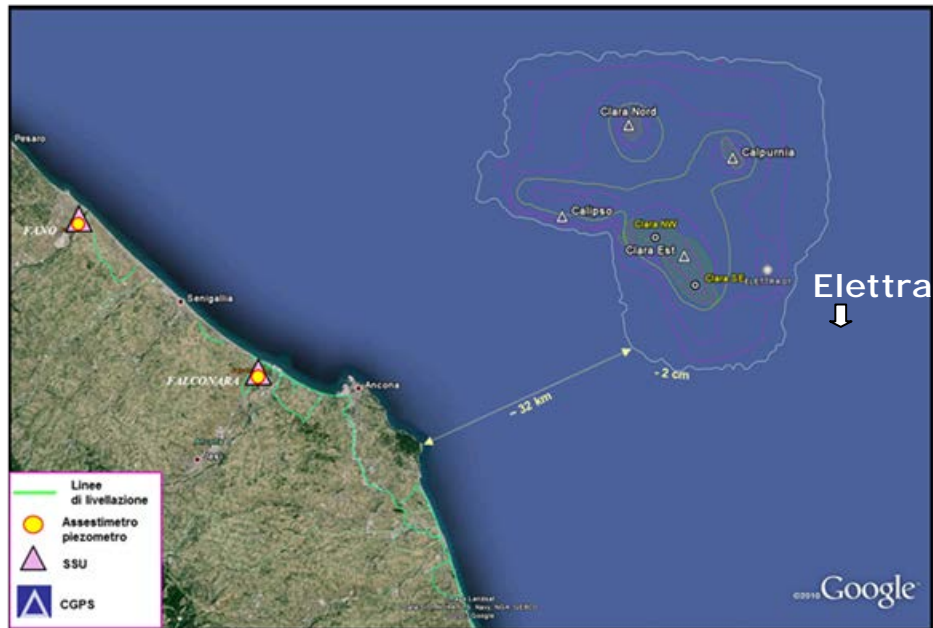


Figura 6 Modello geomeccanico (settembre 2013): curve d'isosubsidenza per lo scenario di riferimento (caso C_m _Med @ 2065)

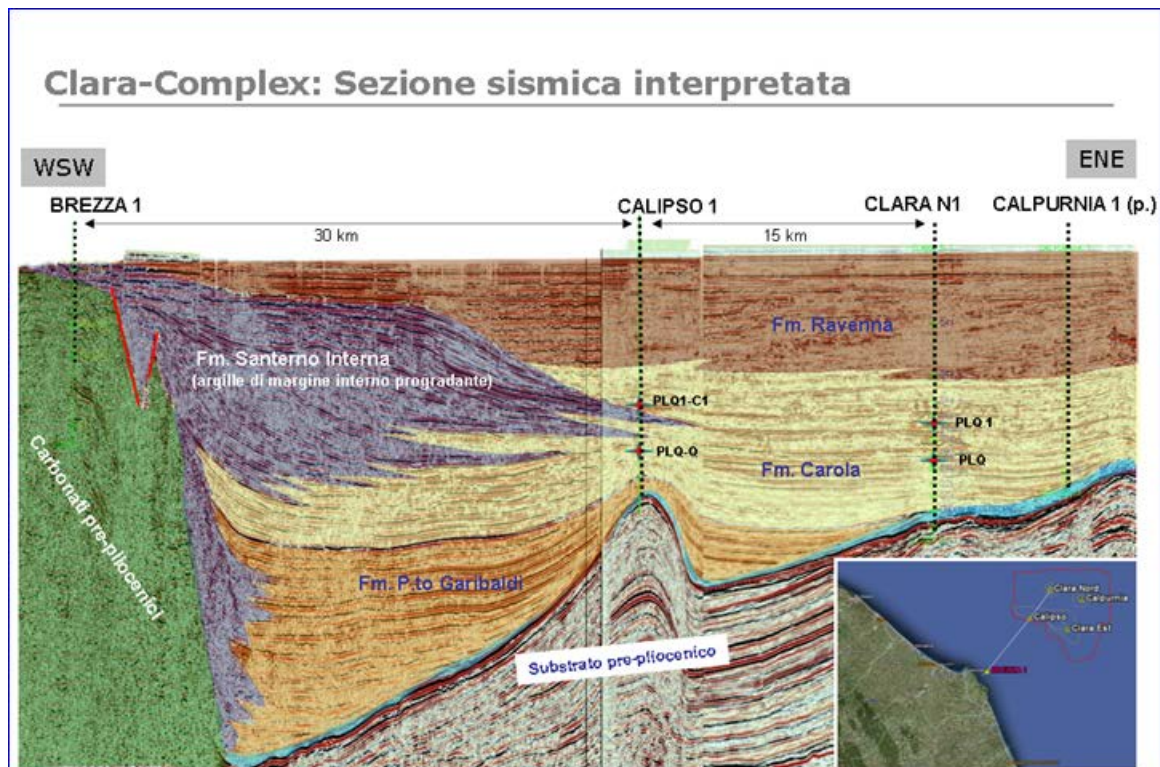


Figura 7 - Sezione sismica interpretata

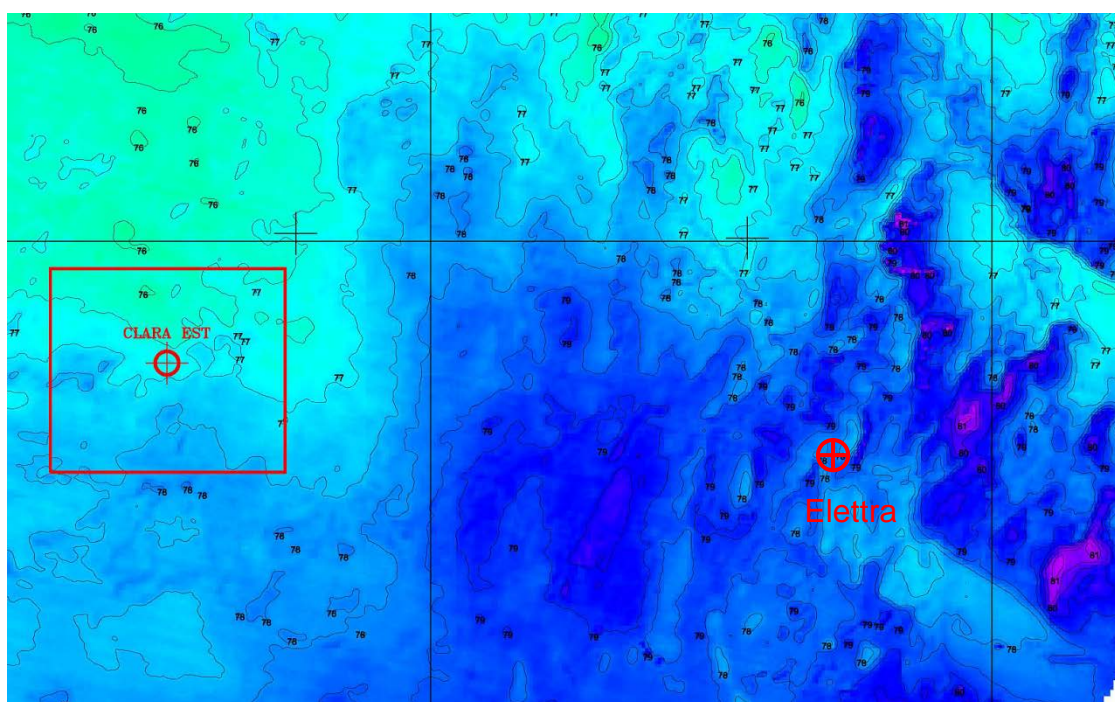
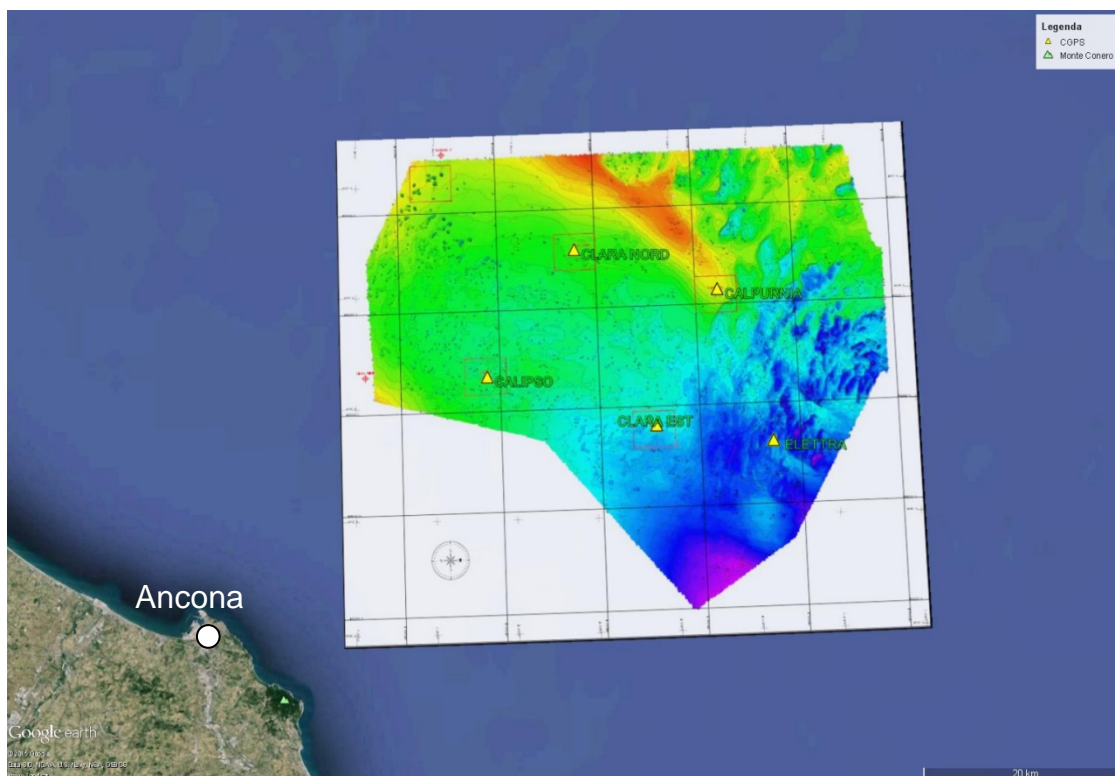


Figura 8 - Clara Complex, Calipso ed Elettra – rilievo batimetrico del 2007-2008

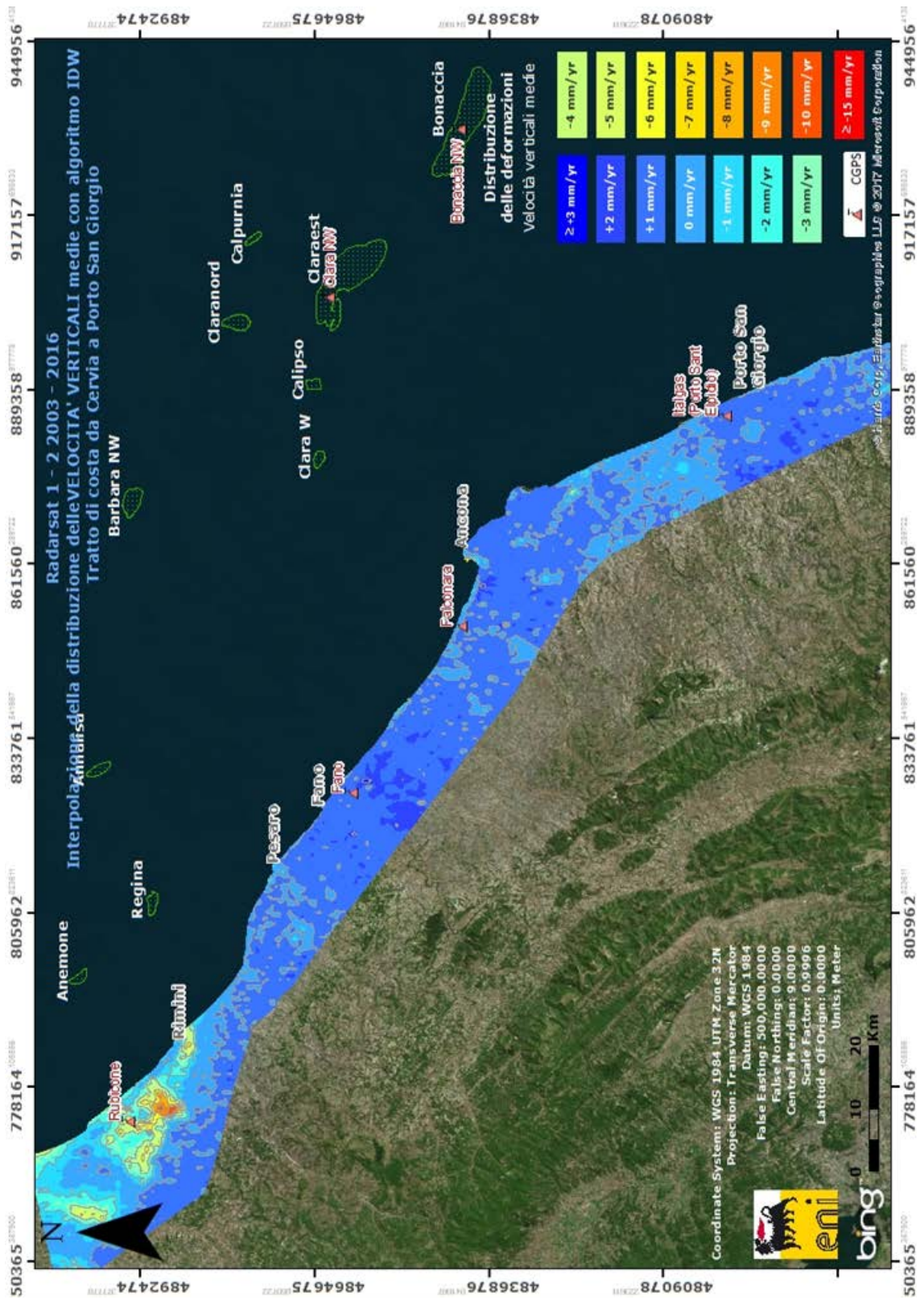


Figura 9 - Campo di Elettra: analisi dati SAR dal 2003 al 2016

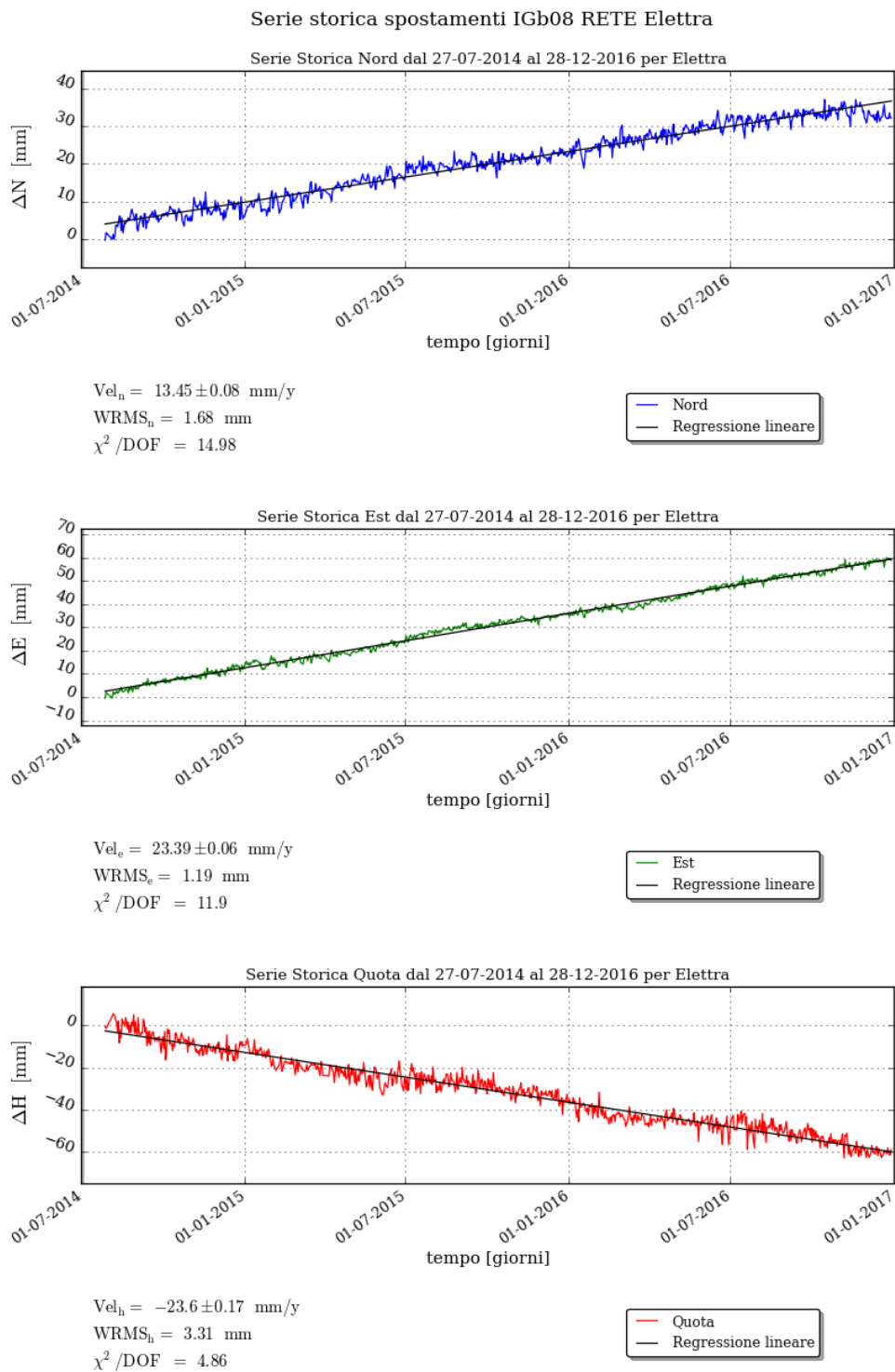


Figura 10 - Campo di Elettra: serie storiche di misure plano-altimetriche registrate dal CGPS installato sulla p.ma Elettra



CAMPO	Inizio produzione	Fine Produzione (rif. ultimo profilo di produzione - Mod. Eclipse)	Riserve prodotte @ dic.2016	Max Subsidenza prevista - scenario di riferimento	Ultimo aggiornamento studio	CGPS		
						inizio registrazione	vel.media (mm/a) @ dic.2016	TREND rispetto @ dic. 2015
ANEMONE	1978	2018	100%	-36cm al 2018	2015	giu-07	-4,7	invariato
ANNALISA	2000	2023	93%	-10cm al 2027	2014	ott-07	-4,1	invariato
ANNAMARIA B	2009	2039	66%	-51cm al 2040	2013	gen-10	-108,6	aumento
BARBARA-NW	1999	2040	71%	-76cm al 2024	2013	gen-08	-29,6	invariato
BONACCIA	1999	2035	65%	-423cm al 2033	2014	dic-07	-76,2	diminuzione
BONACCIA NW	2015					set-15	n.d.	n.d.
CALIPSO	2002	2026	82%	-33cm al 2021	2013	nov-07	-15	diminuzione
CALPURNIA	2000	2017	100%	-54cm al 2021	2013	giu-07	-2	diminuzione
CLARA EST	2000	2030	44%	-56cm al 2026	2013	nov-07	-13,5	invariato
CLARA NW	2015					mar-16	n.d.	n.d.
CLARA NORD	2000	2020	82%	-68cm al 2021	2013	nov-07	-23,6	invariato
ELETTRA	2014	2026	57%	-18cm al 2065	2013	lug-14	-23,6	n.d.
FAUZIA	2014	2024	53%	-11cm al 2060	2013	set-14	-5,5	n.d.
GUENDALINA	2011	2023	86%	-3cm al 2023	2015	ago-11	-5,4	diminuzione
NAIDE	2005	2022	88%	-8cm al 2023	2013	giu-05	-3,45	invariato
NAOMI-PANDORA	2001	2037	43%	-3cm al 2068	2013	giu-02	-1,5	invariato
PCC (PCMS 1,2)	2001	2014	100%	-6,8cm al 2017	2016	lug-05	-3,8	invariato
REGINA	1997	2023	91%	-139cm al 2044	2013	giu-07	-25,5	diminuzione
TEA-LAVANDA-ARNICA	2007	2018	101%	-5cm al 2018	2015	nov-07	-4,3	invariato

Figura 11 - Velocità medie di "subsidenza totale" calcolate per tutta la serie storica di dati GPS vs. modelli

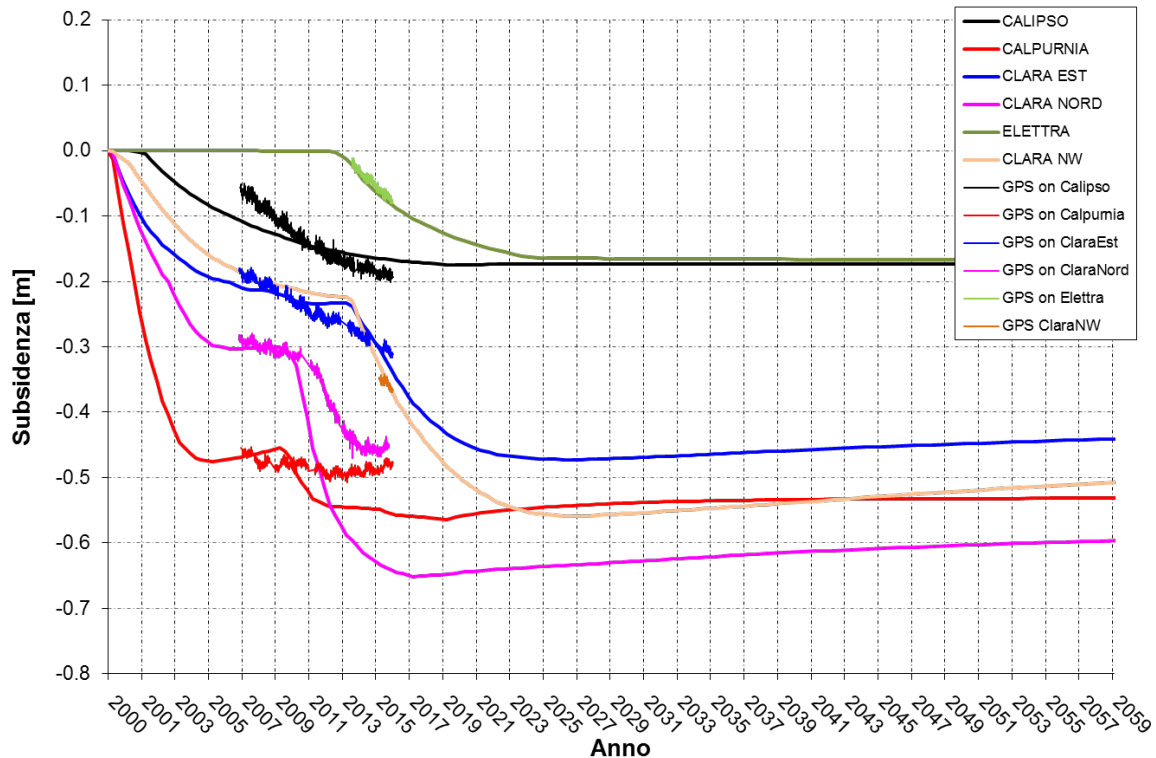


Figura 12 - Previsioni di subsidenza del modello geomeccanico (sett. 2013 - scenario C_m_Med) relative alla posizione delle piattaforme di produzione:, confronto con le corrispondenti misure CGPS aggiornate al dic.2016



campo ELETTRA (J.V. Eni 100%)			
DATI DI CAMPO		DEC. VIA n. 0000104 del 15 aprile 2013	
UBICAZIONE	offshore - 55 Km E costa Pesaro	AGGIORNAMENTO MODELLO DI GIACIMENTO E SUBSIDENZA (ELETTRA)	
PROFONDITA' FONDALE	80 m		
LITOLOGIA	terreni plicocenici sabbioso/argillosi	SIA	
FORMAZIONE RESERVOIR	Formazione Carola - Sant'erno	MOD. STATICO E DINAMICO ECLIPSE 3D "agosto 10"	CLARA COMPLEX - App. mod. di giac. per mod. geomec. - Scheda riassuntiva, Rel. GISE-11/2013 (aprile 2013)
ZONA MINERARIA	PLQ1	RISERVE (MSm3)	470
PROFONDITA' RESERVOIR	868 - 1130 (TVDS)	MOD. GEOMECCANICO	ELEMENTI FINITI (F.E.M.) @ AGOSTO 2010
TIPO DI PIATTAFORMA	fissa monitorabile - BEAF	MAX SUBS AL CENTRO (cm)	16 @ 2004
CARATTERISTICHE GEOLOGICHE	(torbiditi) sottili	MAX DIST. DAL CULMINE (Km)	32
			ULTIMO AGGIORNAMENTO
			ELEMENTI FINITI (F.E.M.) @ SETTEMBRE 2013
			14 @ 2005
			18 @ 2005
			32
STATUS ATTUALE DEI MONITORAGGI			
CONCESSIONE	B.C23.AGAG	D.M @ apr.'13	@ 31 dic 2016
DATA SCADENZA CONCESSIONE	21/09/2026	LIVELLAZIONI	
N. POZZI	1	ACQUISITI I DATI DI LIVELLAZIONE, CERTIFICATI UNIVERSITA' DI BOLOGNA - DICAM, RELATIVI AGLI ANNI: # 1998-2005 # 2006-2009 e 2011-2014 IL PROSSIMO RILIEVO DELLA "DORSALE ADRIATICA E PESARO-PT.S.GIORGIO" SARA' EFFETTUATO NEL CORSO DEL 2017 NEL TRATTO DI COSTA ANTISTANTE IL GIACIMENTO	
RISERVE TECNICHE	470	MARKERS	
A VITA INTERA (MSm3)	470	NON PRESCRITTI	
START UP PRODUZIONE	ago-14	CGPS	
FINE PRODUZIONE PREVISTA	2025	NEL CORSO DEL 2014 E' STATO INSTALLATO UN CGPS IN PIATTAFORMA. NEL 2008 E' STATO INSTALLATO CGPS NELLA CENTRALE ENI DI FALCONARA (ONSHORE) NEL TRATTO DI COSTA ANTISTANTE LA PIATTAFORMA	
GAS PRODOTTO (MSm3)	267	SAR	
% RISERVE PRODOTTE	57%	ACQUISITO AGGIORNAMENTO COPERTURA SAR @ SETT. 2016 DEL TRATTO DI COSTA ANTISTANTE LA PIATTAFORMA PER ANALISI INTEGRATA DEI DATI ALTIMETRICI E PER L'INSERIMENTO DEI CAMPI DI TLA NEL PROGRAMMA DI MONITORAGGIO DELLA SUBSIDENZA ATTUALMENTE IN CORSO IN MOLTI GIACIMENTI DELL'ADRIATICO	

Figura 13 – Campo di Elettra: scheda di sintesi dati campo



Figura 14 - Particolare della rete di monitoraggio Eni

Appendice 1: aggiornamento dati SAR 2003-2016

L'analisi dei dati SAR ha interessato complessivamente tre data-set (Fig. 1A), suddivisi geograficamente in:

1. *Area di Ravenna da Porto Tolle a Cervia*
2. *Area di Rimini da Cervia a Cattolica*
3. *Area di Ancona da Cattolica a Civitanova Marche*

In tali aree, che presentano una piccola zona di sovrapposizione sufficiente a garantire continuità nei dati, sono ubicate le seguenti stazioni CGPS della rete Eni:

1. *Area di Ravenna: Manara, Smarlacca, Spinaroni, Fiumi Uniti*
2. *Area di Rimini: Rubicone*
3. *Area di Ancona: Fano e Falconara.*



Fig. 1A - Mappa calibrazione dati SAR



La calibrazione dei dati SAR è stata fatta con le misure GPS acquisite nelle stazioni poste all'interno delle aree analizzate, partendo da quelle con la serie storica di dati più consistente (Smarlacca, Spinaroni e Fiumi Uniti dell'area di Ravenna).

Per il processo di calibrazione si è impiegata la misura della velocità verticale di spostamento del suolo dell'area SAR più a nord (area ravennate), utilizzando in particolare le misure della stazione di Smarlacca. I dati acquisiti a Fiumi Uniti, a Spinaroni e in tutte le altre stazioni sono stati impiegati esclusivamente per la verifica dei risultati ottenuti.

Per la valutazione delle velocità verticali di spostamento del suolo sulla base dei dati GPS si è impiegata tutta la serie storica disponibile di tali misure che, però, per le stazioni CGPS di Smarlacca, Spinaroni e Fiumi Uniti è iniziata a una data leggermente anteriore rispetto a quella d'inizio misure SAR. Si è, comunque, accertato che i valori di velocità così ottenuti differiscono in modo del tutto trascurabile ($< 1 \text{ mm/a}$) rispetto a quelli che si otterrebbero dagli stessi dati GPS, utilizzando però una serie storica di misure leggermente ridotta, avente cioè la stessa data d'inizio di quella dei dati SAR.

L'analisi dei dati SAR non calibrati e acquisiti in un'area circolare (raggio di circa 300 m) intorno alla stazione CGPS di Smarlacca, ha consentito di stimare una velocità media d'abbassamento del suolo di $-3,22 \pm 0,42 \text{ mm/a}$. Dato che la corrispondente velocità media ottenuta dalle misure del CGPS di Smarlacca è di $-6,37 \pm 0,01 \text{ mm/a}$, si ha uno scostamento fra le due misure di $-3,15 \pm 0,43 \text{ mm/a}$. Ai valori di velocità media della componente verticale, determinata con il monitoraggio SAR si è applicata, pertanto, una correzione pari a $-3,15 \pm 0,43 \text{ mm/a}$. Si sono poi confrontati tali dati SAR con le misure dei CGPS di Manara, Fiumi Uniti e Spinaroni considerando i punti SAR disponibili in un'area circolare (raggio pari a 300 m) intorno a tali stazioni. Il confronto ha mostrato differenze mediamente inferiori a 1 mm/a tra le misure GPS e i dati SAR calibrati, confermando la bontà del procedimento seguito.

In Fig. 2A sono rappresentati i dati SAR per l'area di Ravenna nel tratto di costa da Comacchio a Cervia ottenuti a valle del processo di calibrazione. Tali dati sono stati ottenuti per interpolazione con un algoritmo di IDW (Inverse Distance Weighted) mediante Tool ArcGis Spatial Analyst®.

A differenza di quanto fatto negli anni precedenti, gli altri data set acquisiti (area di Rimini e area di Ancona, vedi Fig. 1A) sono stati analizzati separatamente da quello dell'area ravennate, poichè si è osservato un buon accordo fra le misure SAR e quelle registrate dalle stazioni CGPS site all'interno di ciascuna delle 2 aree sopracitate. Inoltre, con il consolidarsi della serie storica di misure SAR (circa 14 anni di dati) si è notato come la calibrazione delle aree di Rimini e Ancona - fatta a partire da quella di Ravenna e impiegando un valore di calibrazione ottenuto come media delle componenti verticali delle velocità di spostamento del suolo nelle zone di sovrapposizione tra le diverse aree - introduca un errore sistematico. Tale errore, che consiste in uno spostamento verticale fittizio ed è probabilmente causato anche alla propagazione della varianza, non può essere ignorato e, pertanto, sconsiglia l'applicazione della procedura di calibrations "a catena" fatta nel passato.

Per l'area di Rimini, analizzata congiuntamente a quella di Ancona Fermo, il procedimento seguito per la mosaicatura e calibrazione del dato SAR è illustrato sinteticamente nello schema esemplificativo di Fig. 3A.

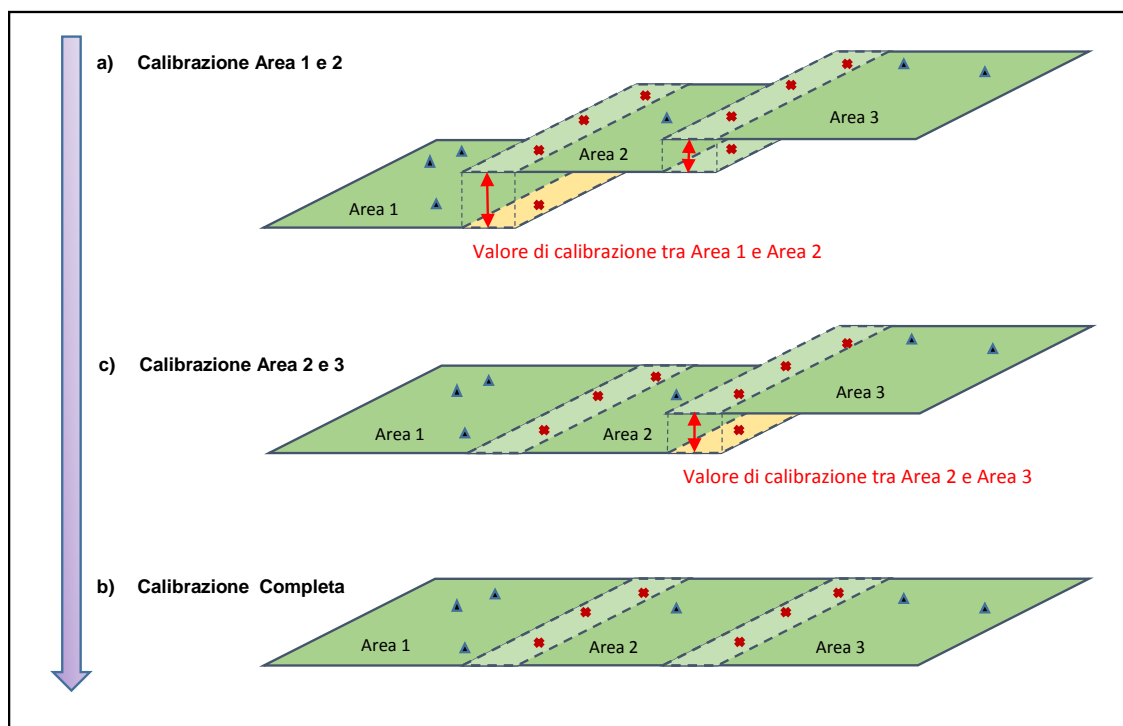


Fig. 3A – Schema illustrativo del processo di calibrazione delle immagini SAR con misure CGPS



L'analisi dell'area SAR di Ancona evidenzia che le velocità verticali di spostamento del suolo registrate dalle stazioni CGPS di Fano e Falconara sono allineate con quelle misurate dal SAR: la differenza è inferiore al millimetro. Si noti che il confronto è stato fatto per una zona di circa 300 m intorno a ogni stazione, e che le velocità dei dati SAR sono una media delle misure relative ai permanent scatterer (PS) che ricadono all'interno di tale zona.

Data l'ottima concordanza fra i dati CGPS e quelli SAR si è deciso, quindi, di non calibrare questi ultimi.

Si sono poi confrontate le velocità verticali di spostamento del suolo misurate dai PS nella zona di sovrapposizione tra l'area di Ancona e quella di Rimini (Fig. 3A). Per quanto osservato in precedenza (non calibrazione dato SAR vs. GPS in quanto trascurabile) la mosaicatura/calibrazione è stata fatta in modo diretto senza alcun delta tra le due zone sovrapposte.

A valle del processo di mosaicatura/calibrazione si è esaminato l'andamento della differenza di velocità verticali tra misure SAR e dati CGPS per l'area di Rimini (Stazione S.S.U. di Rubicone, vedi Fig. 1A). Nella zona situata nell'intorno della stazione CGPS di Rubicone - installata nel dicembre 2007 - i data-set SAR (area SAR di Rimini), mostrano un rallentamento della velocità di subsidenza a partire dal 2008 (analisi dettagliata presentata nel 2013). La differenza fra le stime di tale velocità ottenute rispettivamente con le misure GPS e quelle SAR è di 1.96 ± 0.67 mm/a. Al solito, la velocità media SAR è stata calcolata considerando i PS compresi in un intorno di 300 metri dalla stazione.

In Fig. 4A è visualizzata l'immagine ottenuta per interpolazione dei dati calibrati relativi alle aree di Ancona-Fano e Rimini. Per tale operazione si è impiegato l'algoritmo di IDW (Inverse Distance Weighted) mediante Tool ArcGis Spatial Analyst®.

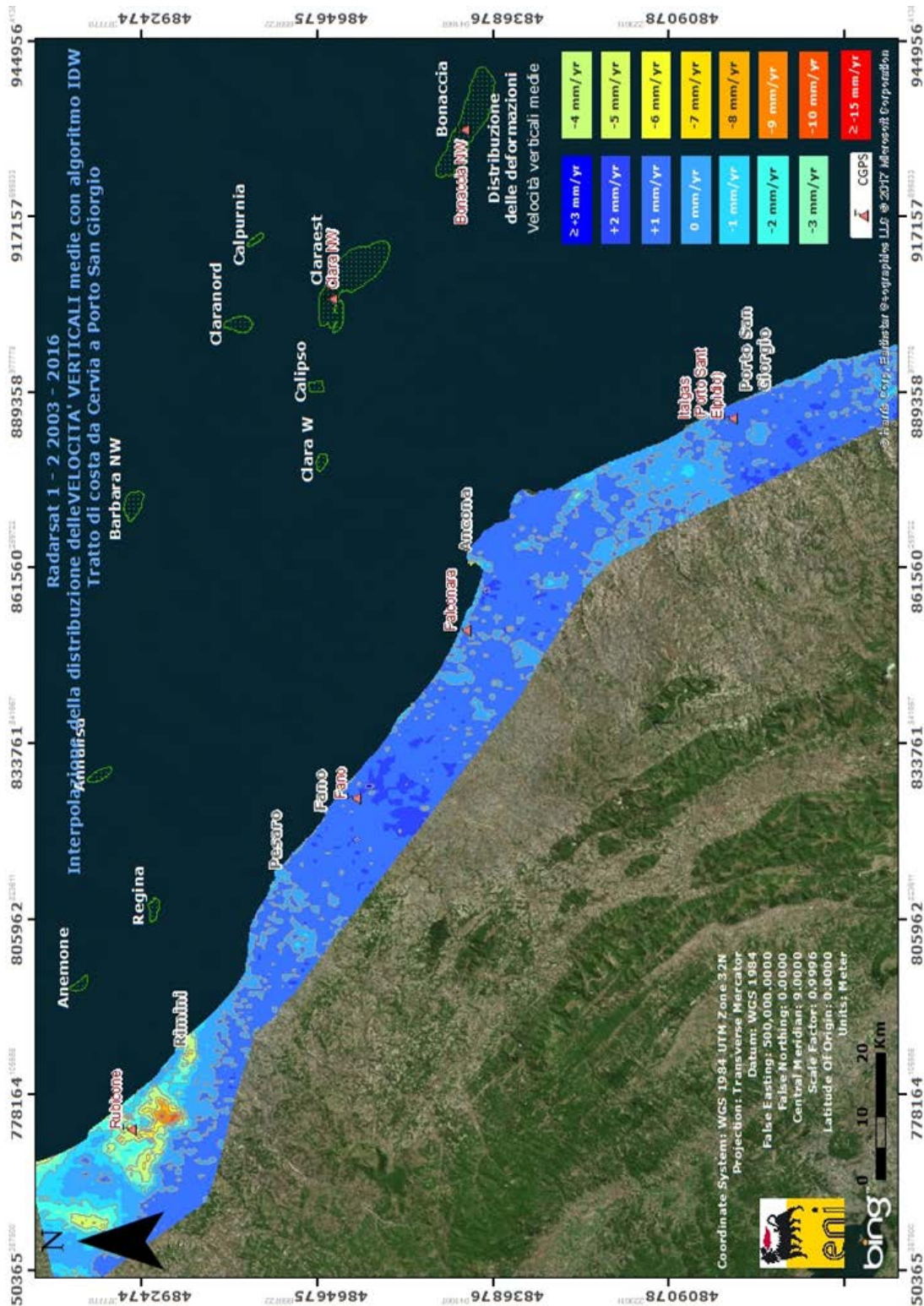


Fig. 4A - Interpolazione IDW (Inverse Distance Weighted) dei dati RadarSat 1 -2, per il periodo 2003 – 2016, con Tool ArcGis Spatial Analyst®. Tratto di costa da Cervia a Porto San Giorgio

Confronto dati SAR 2003 – 2015 vs 2003 – 2016

Un confronto diretto tra i dati 2003 – 2015 e i dati 2003 – 2016 sull'intero tratto di costa da Comacchio a Porto San Giorgio non è possibile in quanto le analisi 2016 dei dati SAR sono state effettuate con procedura differente rispetto all'anno precedente.

E' possibile però effettuare un confronto per quanto riguarda l'area di Ravenna e l'area di Fermo-Ancona.

Come mostrano le immagini di Fig. 5A e Fig. 6A, non si notano delle differenze importanti, il valore modale si attesta intorno a -3,5 mm. L'unica area con valori di differenza che sono in media dell'ordine di -7 mm, è situata a sud della città di Ravenna. Questa anomalia è, però, molto probabilmente causata da una mancanza di dati in tale area per la scarsa coerenza del segnale SAR. Ciò ha prodotto un artefatto numerico, privo di significato fisico, nelle relative mappe d'interpolazione.

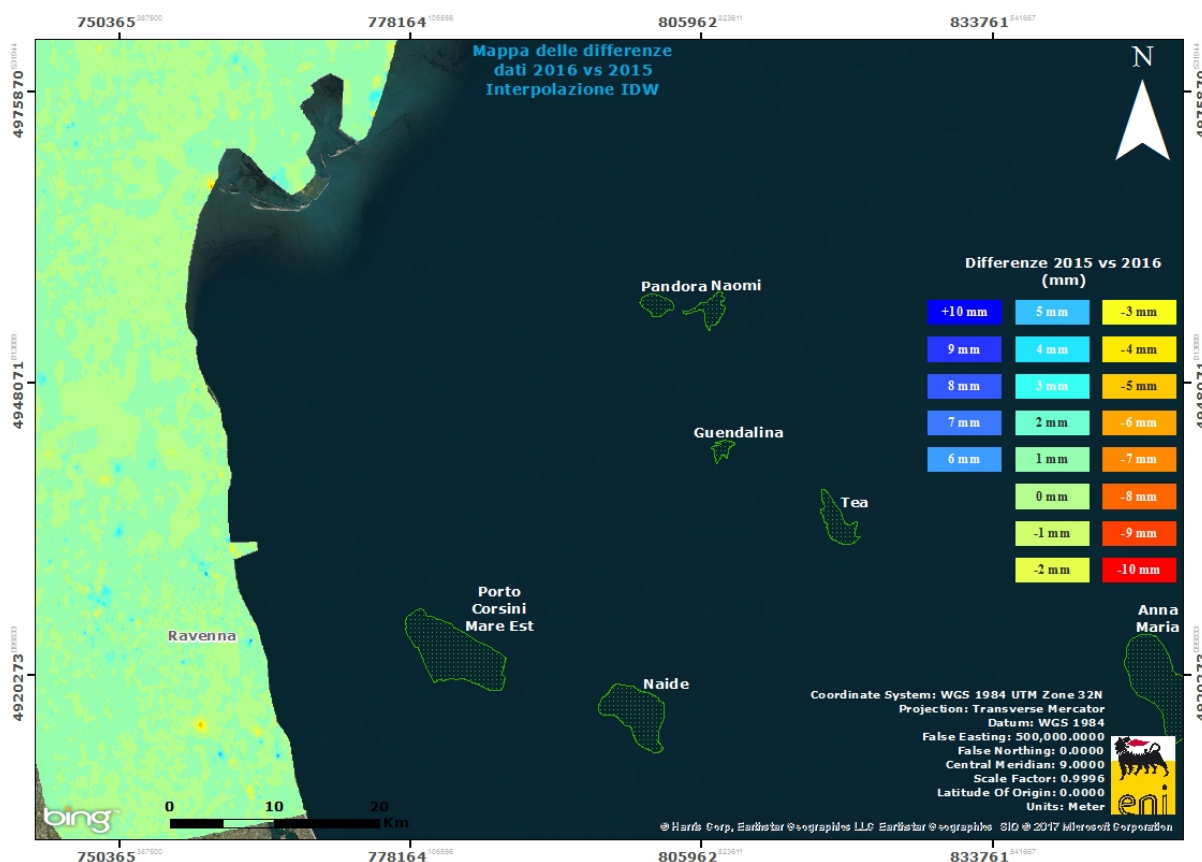


Fig. 5A – Mappa delle differenze prodotta tra il database 2003-2015 e il 2003-2016, utilizzando il Tool Math – Spatial Analyst® di ArcGIS™. Tratto di costa da Comacchio a Cervia

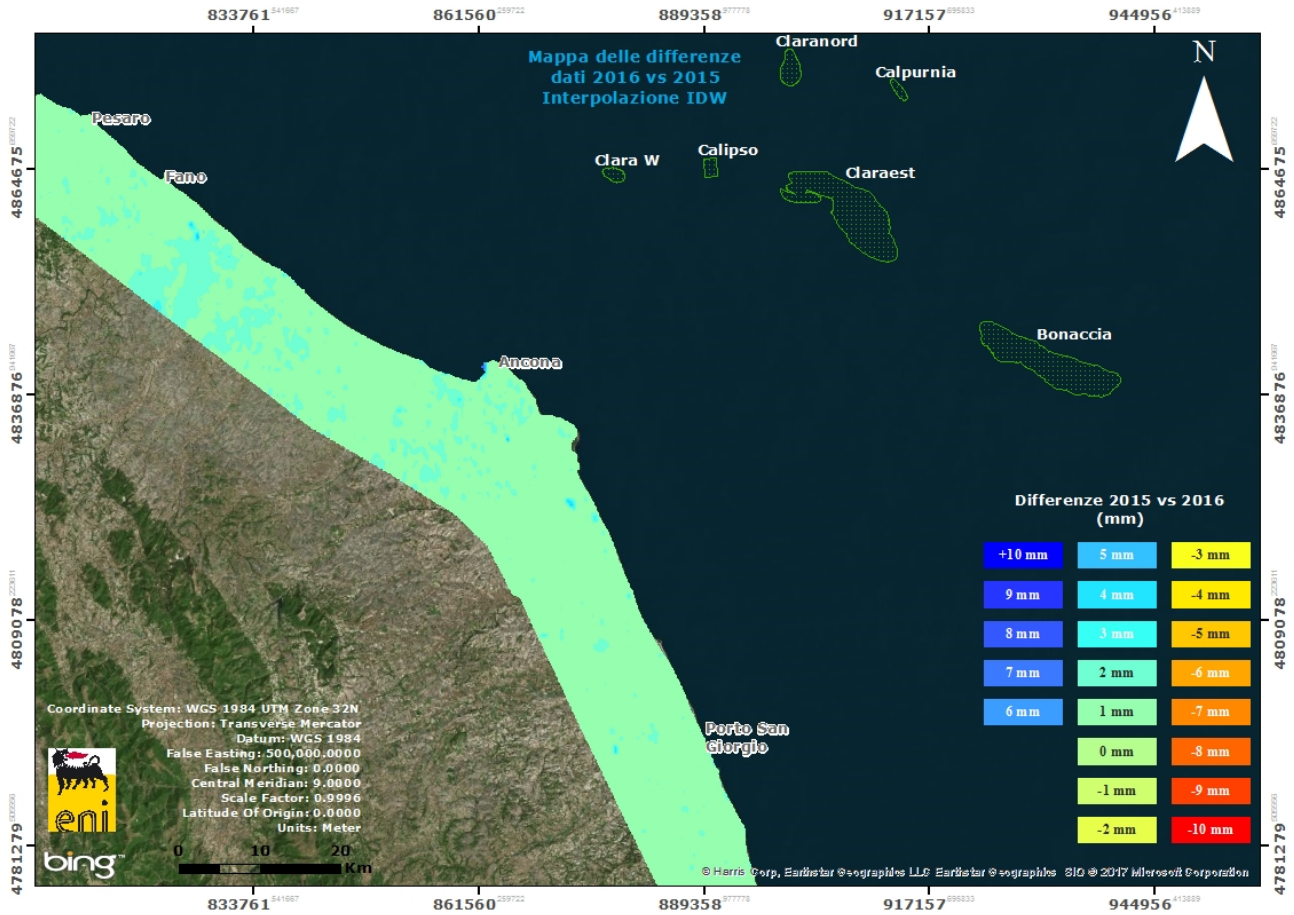


Fig. 6A - Mappa delle differenze prodotta tra il database 2003-2015 e il 2003-2016, utilizzando il Tool Math – Spatial Analyst® di ArcGIS™. Tratto di costa da Fano a Porto San Giorgio

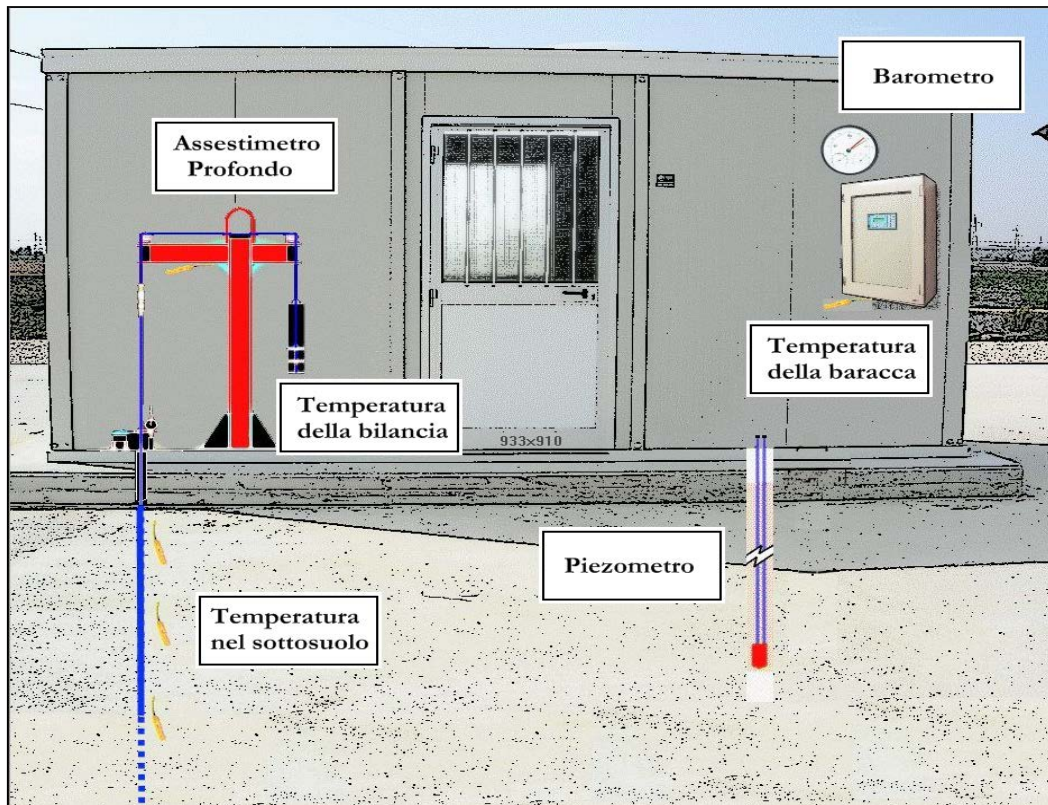


Figura 2B - Rappresentazione schematica di una stazione EPSU



Più in dettaglio, in ciascuna delle 3 stazioni EPSU sono state installati i seguenti dispositivi di misura:

Località	Pozzo	Strumentazione	Profondità (da P.C.)	Data d'installazione
Rubicone	CGRA-1	Assestometro profondo	320 m	Gen. 2009
	CGRP-1	Piezometro cella singola	178 m	Gen. 2009
	CGRP-2	Piezometro cella doppia	146 m e 70 m	Gen. 2009
Fano	CGFNA-1	Assestometro superficiale	40,8 m	Lug. 2008
	CGFNP-1	Piezometro superficiale	6,1 m	Lug. 2008
Falconara	CGFLA-1	Assestometro superficiale	40,3 m	Lug. 2008
	CGFLP-1	Piezometro cella singola	22 m	Lug. 2008

Per ciascuna stazione EPSU si allegano:

1. scheda che ne descrive sinteticamente le principali caratteristiche;
2. grafico che mostra l'andamento temporale di tutte le misure;
3. file in formato excel che contiene i valori numerici di tali misure.

N.B.: Nella lettura dei dati riportati sui grafici relativi agli assestimetri, i valori positivi costituiscono la componente della compattazione (riduzione dello spessore dello strato di sottosuolo attraversato dall'assestometro); al contrario i valori negativi costituiscono la componente dell'espansione (aumento dello spessore dello strato di sottosuolo attraversato dall'assestometro).



Stazione EPSU di RUBICONE (installata dicembre 2009)

Strumentazione:

- assestimetro - quota bottom: 316 m da p.c.
- piezometro singolo - quota cella: 178 m da p.c.
- piezometro doppio - quota celle: 146 e 70 m da p.c.

La raccolta dati di questa stazione è iniziata l'8 aprile 2009. A tale data (in occasione del collaudo) è stato fatto "lo zero" dei sensori di misura.

I dati sono stati acquisiti con regolarità secondo la seguente frequenza:

- 8 aprile 2009 - 22 maggio 2009 una misura ogni ora;
- 22 maggio 2009 - 2 novembre 2009 una misura ogni 2 ore;
- dal 2 novembre 2009 una misura ogni 6 ore.

Le misure sono state fatte con alimentazione a batteria fino al 22 maggio 2009. Da tale data fino al 14 luglio 2009 non si hanno registrazioni a causa dei lavori di messa a norma della baracca secondo la normativa ATEX. Dal 14 luglio è ripreso il normale ciclo di funzionamento della stazione.

Nel 2011 c'è da segnalare un black-out dei dati per mancanza di alimentazione dell'apparecchiatura tra il 29 settembre e il 14 ottobre.

L'ultima verifica generale della strumentazione, con controlli manuali dei livelli piezometrici e taratura di tutti i sensori è stata fatta nel dicembre 2016.

Analisi dei dati assestimetrici

L'assestimetro misura la compattazione degli strati di terreno compresi tra il piano campagna (p.c.) e il punto più profondo d'ancoraggio dello strumento (316 m da p.c.).

Nei grafici allegati sono riportati per un confronto sia i dati piezometrici, sia quelli assestimetrici. I dati relativi all'assestimetro sono espressi in millimetri e riportano gli spostamenti misurati rispetto a un valore base iniziale ("misura di zero"). Tale misura è quella dell'8 aprile 2009, data di collaudo del sistema. Valori positivi degli spostamenti nel grafico dell'assestimetro indicano, quindi, una compattazione, valori negativi, viceversa, un incre-



mento dello spessore (cioè espansione) degli strati di terreno monitorati.

Nel caso della stazione di Rubicone, l'andamento nel tempo della curva di compattazione/espansione registrata dall'assestometro si correla molto bene con le variazioni di quota delle due falde acquifere monitorate dai piezometri rispettivamente a 77 m e 150 m di profondità. Per tutto il periodo osservato si nota, infatti, un ritardo medio di circa 1,5÷2 mesi nella compattazione/espansione del terreno rispetto all'escursione massima (marzo/aprile) e minima (agosto/settembre) di tali falde.

Il livello della falda acquifera sita a 180 m di profondità presenta, invece, un andamento piuttosto costante nel tempo, con basse escursioni stagionali (ca.+/- 1 m), in fase con l'andamento dell'assestometro. Ai massimi (minimi) della falda corrisponde il massimo (l'espansione (compattazione) registrata dall'assestometro.

Nella stessa area della stazione assestimetrica è installata anche una postazione CGPS. Ciò ha permesso un confronto fra la velocità media d'abbassamento del suolo rilevata dai dati GPS con quella di compattazione del terreno ottenuta dalle misure assestimetriche. Tali velocità, che si riferiscono però a fenomeni fisici diversi anche se collegati fra loro, sono risultate in sostanziale accordo, soprattutto a partire dal 2012. La velocità media annua calcolata con regressione lineare della serie storica di misure GPS è risultata, infatti, di -2,0 mm/a, ed è abbastanza prossima a quella ottenuta in modo analogo dalle misure assestimetriche che è pari a -2,4 mm/a. Ciò potrebbe indicare che la causa principale d'abbassamento del suolo dipenda principalmente dalla compattazione dei primi 320 m di terreno e sia causata dalle oscillazioni stagionali delle falde acquifere.

Si segnala, inoltre, che per comodità di lettura del grafico:

- le misure del CGPS sono state filtrate con una media mobile su 50 campioni per meglio evidenziarne l'andamento;
- i valori della curva assestimetrica sono stati riportati in ordine inverso, così da renderne l'andamento coerente quello della curva GPS (spostamenti delle curve verso l'alto indicano sollevamenti del terreno e viceversa).



Analisi dei dati piezometrici

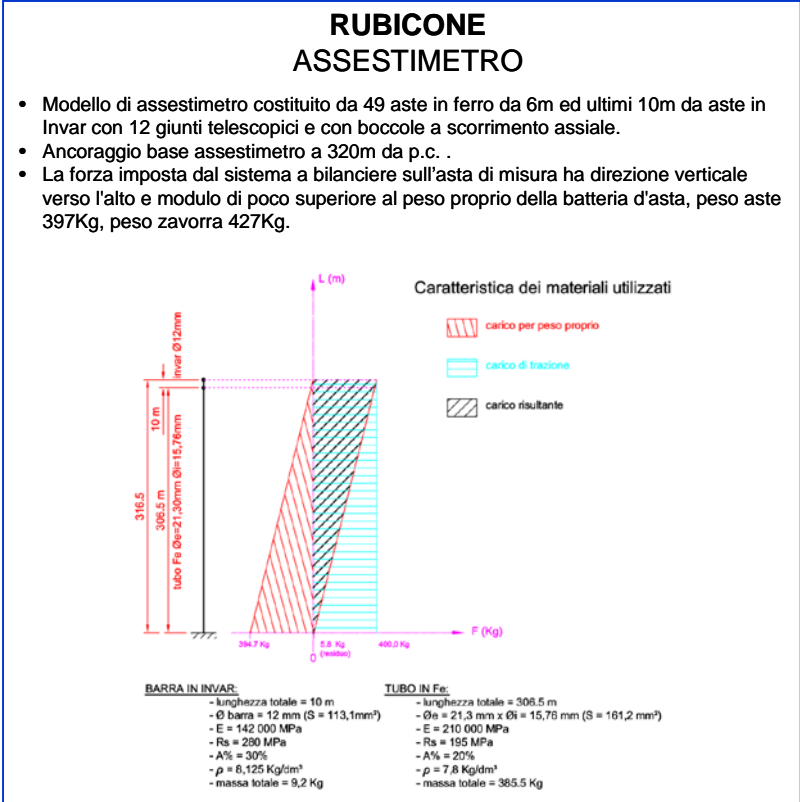
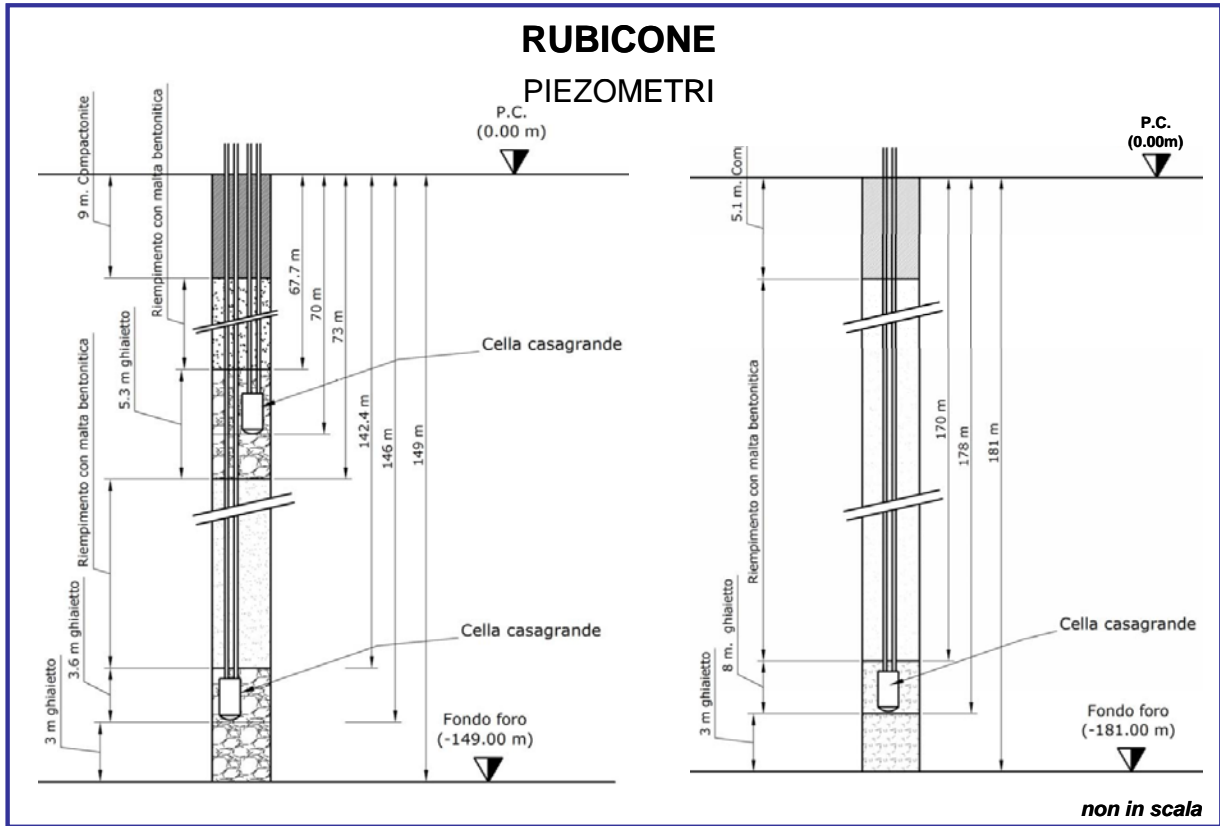
Nei grafici dei piezometri l'ordinata è la quota piezometrica (in m), ovvero la profondità del livello dell'acqua all'interno del tubo piezometrico riferita al piano campagna. Nello stesso grafico (come seconda ordinata) è riportato il valore della pressione barometrica.

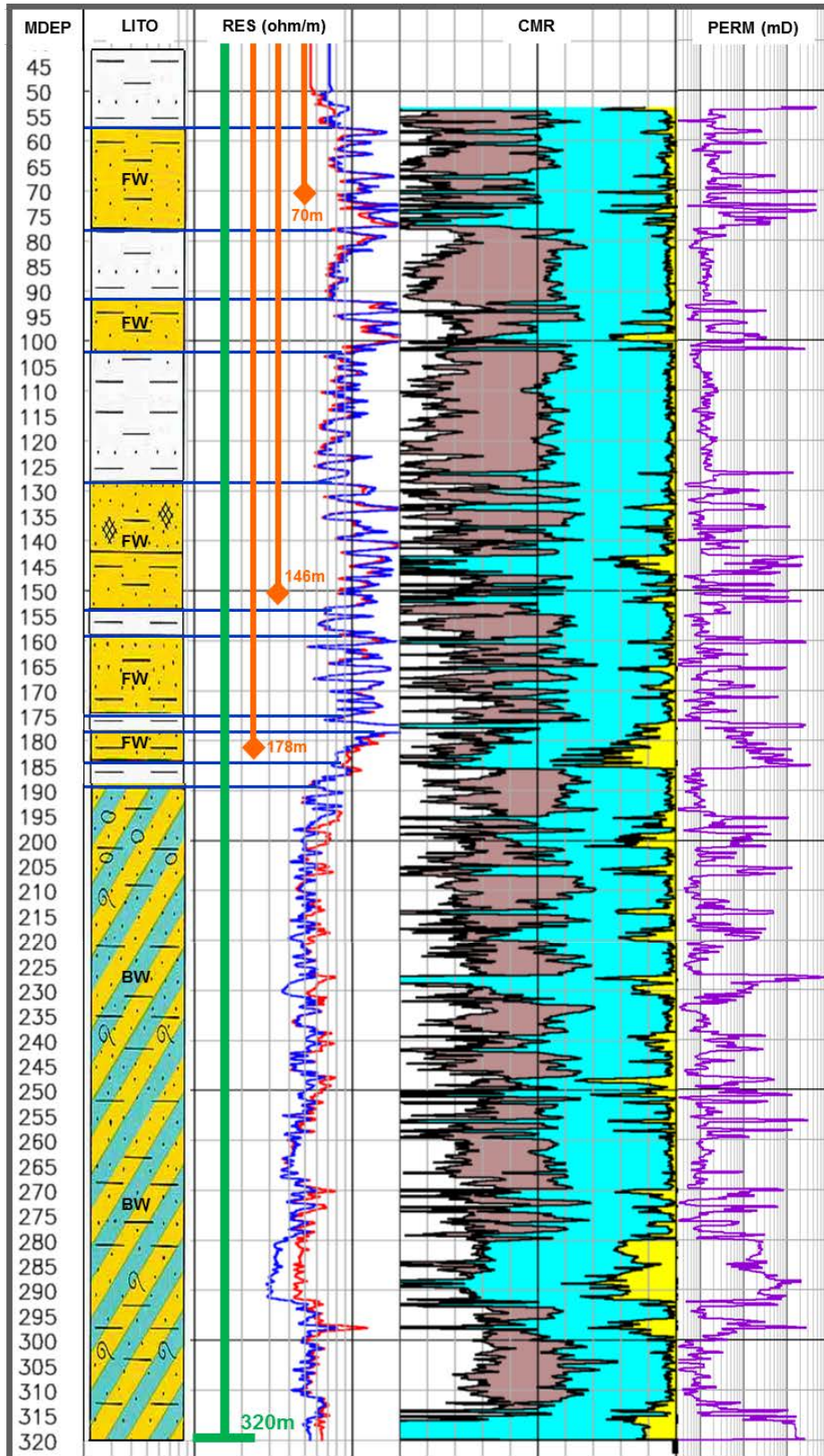
Nel caso di Rubicone si notano delle effervescenze gassose nei tubi piezometrici causate dalla presenza di piccole quantità di gas nell'acqua; il fenomeno del resto era già osservato durante le operazioni di messa in opera dell'attrezzatura. Queste piccole effervescenze causano differenze di misura dei livelli d'acqua nei due tubi del piezometro profondo (pozzo CGRP-1).

Nel mese di ottobre 2012 si sono puliti e controllati i 3 piezometri verificando il loro buon funzionamento.

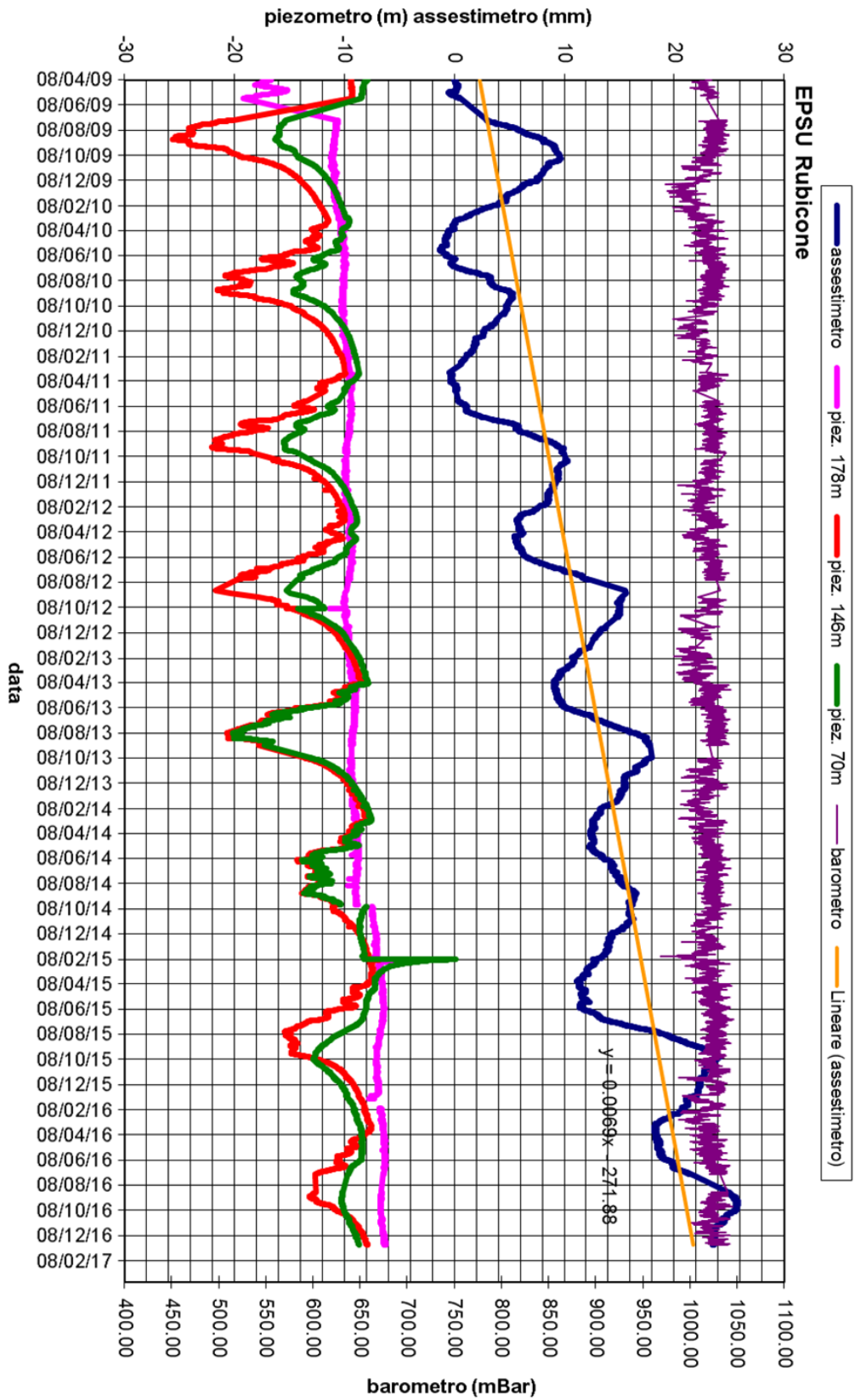
Un nuovo spurgo è stato fatto a fine settembre 2014, controllando accuratamente piezometri e trasduttori. L'affidabilità di questi ultimi, in particolare, è stata accertata facendo alcune misure manuali con freatimetro. Queste sono risultate del tutto in linea con le misure automatiche, consentendo di concludere che tutti i trasduttori erano perfettamente funzionanti e affidabili.

A dicembre 2016 si sono effettuati nuovi controlli manuali del livello delle falde acquifere, accertando una buona rispondenza con le misure automatiche. Tutti i trasduttori si sono, quindi, dimostrati perfettamente funzionanti e affidabili.



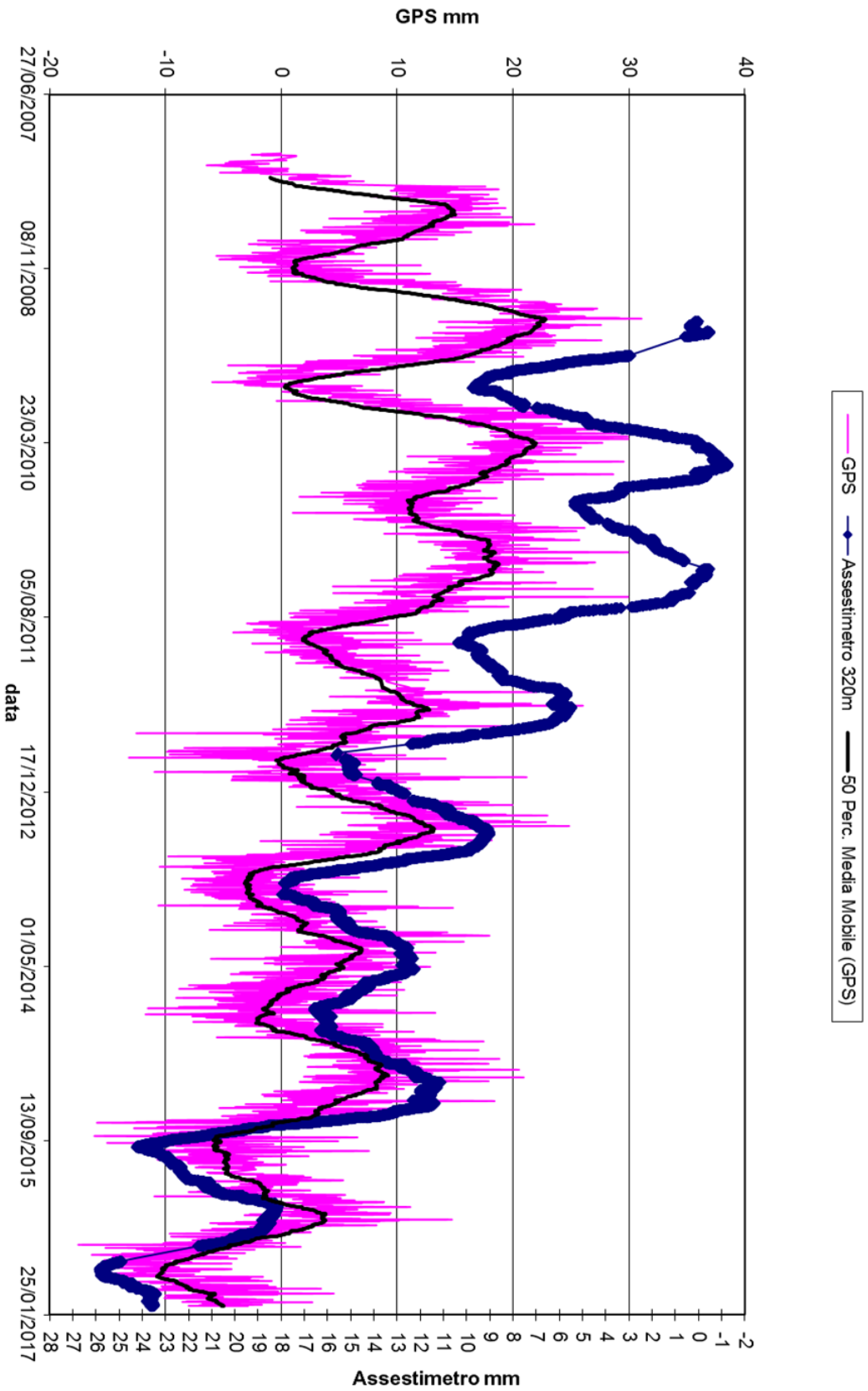


Stazione EPSU Rubicone. Le curve rappresentano i logs litologico-petrofisici tramite cui è stata ricostruita la serie stratigrafica del suolo attraversato.



L'assestimetro misura cedimenti del terreno rispetto all'ancoraggio profondo
 valori positivi = abbassamento
 valori negativi = sollevamento

RUBICONE - Confronto GPS ed assestimetro profondo



Nel grafico per meglio apprezzare le modulazioni della curva GPS questa è stata filtrata con una media mobile su 50 campioni. Per comodità la curva assestimetrica è stata graficata con i valori in ordine inverso, in modo da renderla coerente con le modulazioni del GPS (spostamenti delle curve verso l'alto indicano sollevamenti del terreno e viceversa)



Stazione EPSU di FALCONARA (installata ottobre 2008)

Strumentazione:

- assestometro - quota bottom: 40,3 m da p.c.
- piezometro a cella singola – quota cella: 22 m da p.c.

La raccolta dati di questa stazione è iniziata il 16 ottobre 2008. A tale data (in occasione del collaudo) è stato fatto “lo zero” dei sensori di misura.

L’acquisizione dati è stata fatta con regolarità secondo la seguente frequenza:

- 16 ottobre 2008 - 18 maggio 2009 una misura ogni ora,
- 8 maggio 2009 - 31 dicembre 2014 una misura ogni 6 ore.

Nei periodi 7 ottobre 2011 - 2 novembre 2011 e 3 dicembre - 13 dicembre 2011 si è avuto un problema d’alimentazione all’apparecchiatura d’acquisizione automatica dei dati, con conseguente mancata registrazione degli stessi. Identico problema si è verificato tra febbraio e aprile 2012; si è perciò sostituito parte dell’hardware del sistema d’acquisizione.

L’ultima verifica generale della strumentazione, con controlli manuali dei livelli piezometrici e taratura di tutti i sensori, è stata effettuata nel dicembre 2016.

Analisi dei dati assestimetrici

L’assestometro misura la compattazione degli strati di terreno compresi tra il piano di campagna (p.c.) e il punto più profondo d’ancoraggio dello strumento (40,3 m da p.c.).

Nei grafici allegati sono riportati per un confronto sia i dati piezometrici, sia quelli assestimetrici. I dati relativi all’assestometro sono espressi in millimetri e riportano gli spostamenti misurati rispetto a un valore base iniziale (“misura di zero”). Tale misura è quella del 16 ottobre 2008, data di collaudo del sistema. Valori positivi degli spostamenti nel grafico dell’assestometro indicano, quindi, una compattazione e, viceversa, valori negativi un incremento dello spessore (i.e. espansione) degli strati di terreno monitorati.

Come nel caso della stazione di Rubicone, anche per quella di Falconara la variazione nel tempo delle misure assestimetriche è caratterizzata da una curva ad andamento oscillatorio



molto ben correlabile con le variazioni di livello della falda d'acqua monitorata a 22 metri di profondità dal piezometro. L'assestometro, che reagisce quasi immediatamente all'escursione massima e minima annuale di tale falda, mostra, inoltre, uno stato del terreno senza apprezzabile compattazione.

Identico andamento emerge dall'analisi delle misure di abbassamento/sollevamento del suolo della stazione CGPS installata in loco. La correlazione tra le due curve, assestimetrica e geodetica, è estremamente elevata, il loro sfasamento temporale è pressoché nullo e le "pulsazioni" (espansioni e compattazioni) del terreno (tutte di piccolissima entità) sono correlate alle variazioni di livello della falda acquifera.

La velocità media calcolata con regressione lineare della serie storica di misure GPS fornisce una velocità sollevamento di circa 0,2 mm/a; la serie assestimetrica mostra una velocità media annua di compattazione di circa 0,1 mm/a.

Si segnala, inoltre, che per comodità di lettura del grafico:

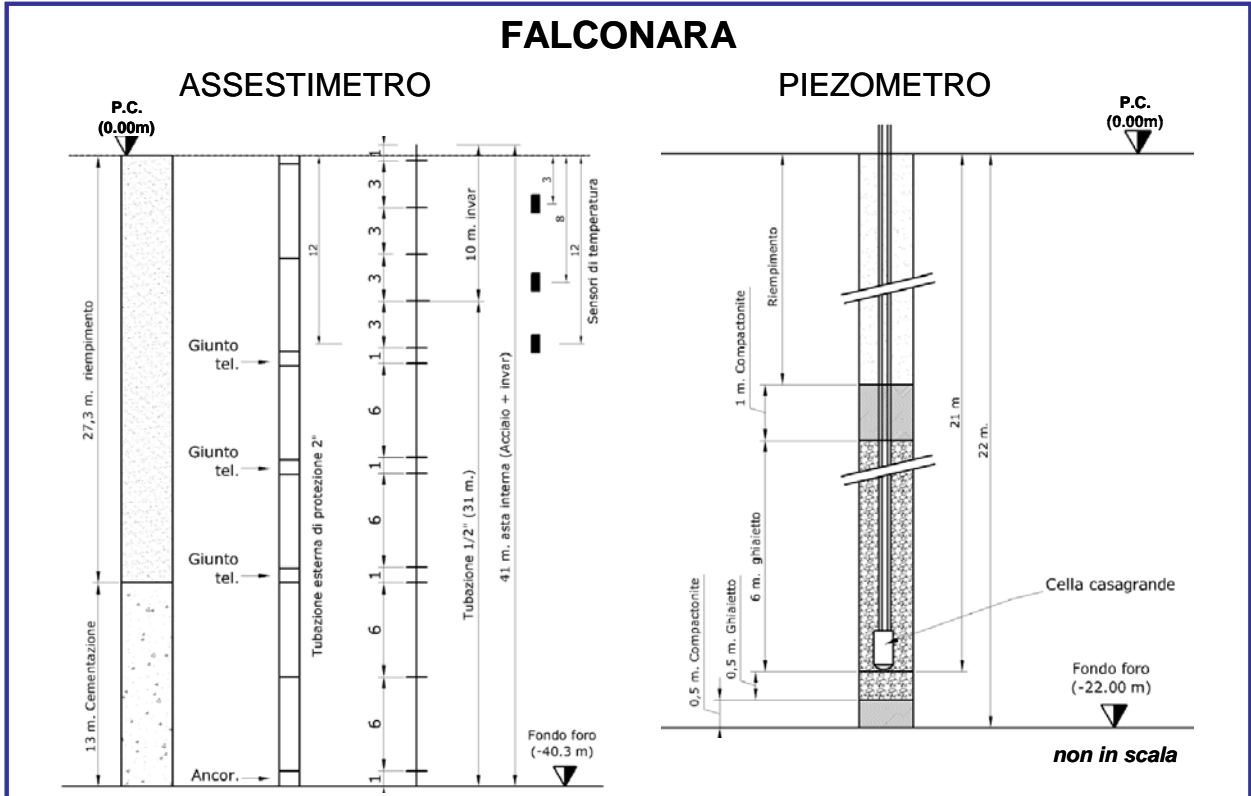
- le misure del CGPS sono state filtrate con una media mobile su 50 campioni per meglio evidenziarne l'andamento;
- i valori della curva assestimetrica sono stati riportati in ordine inverso, così da renderne l'andamento coerente quello della curva GPS (spostamenti delle curve verso l'alto indicano sollevamenti del terreno e viceversa).

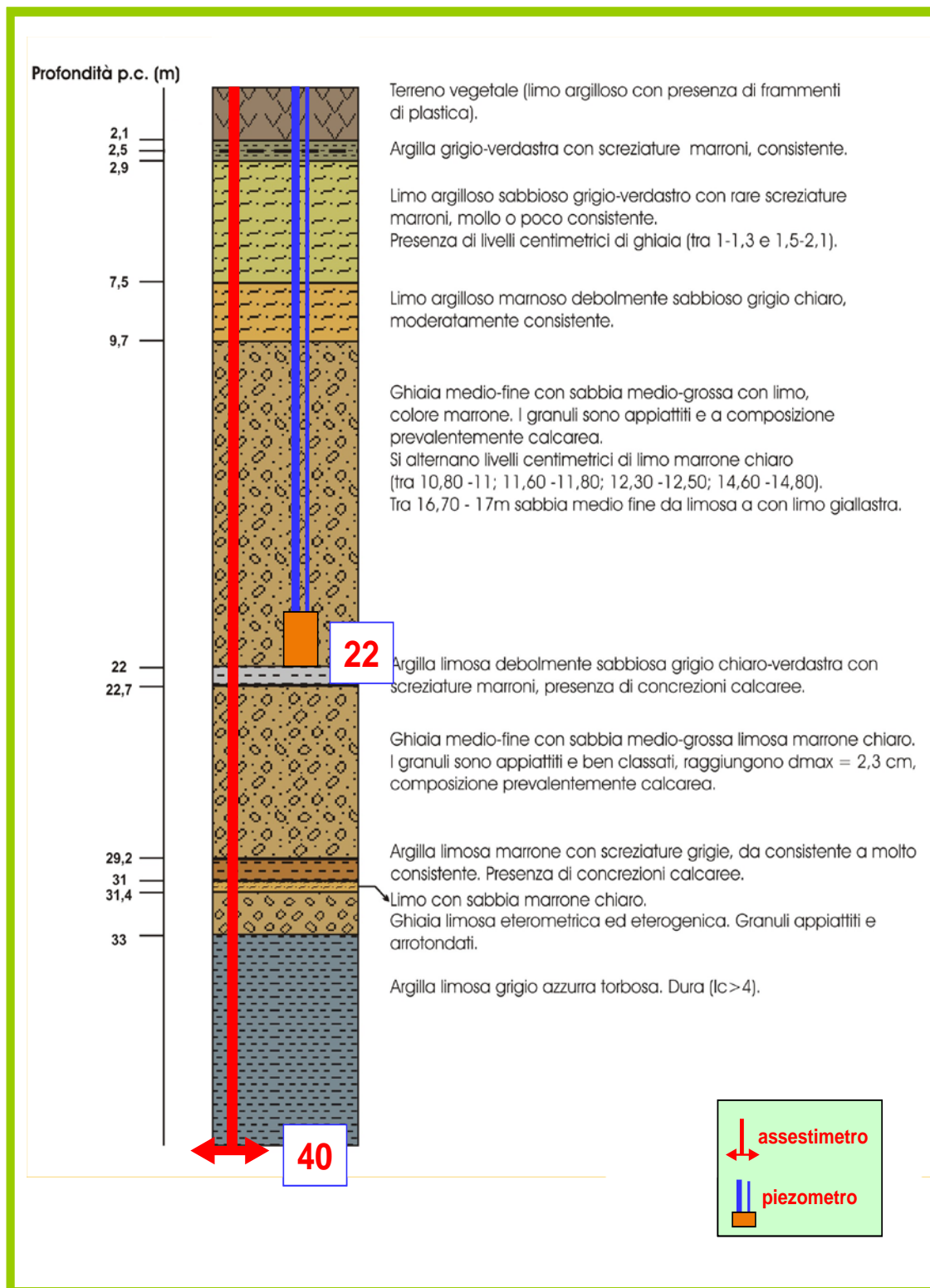
Analisi dei dati piezometrici

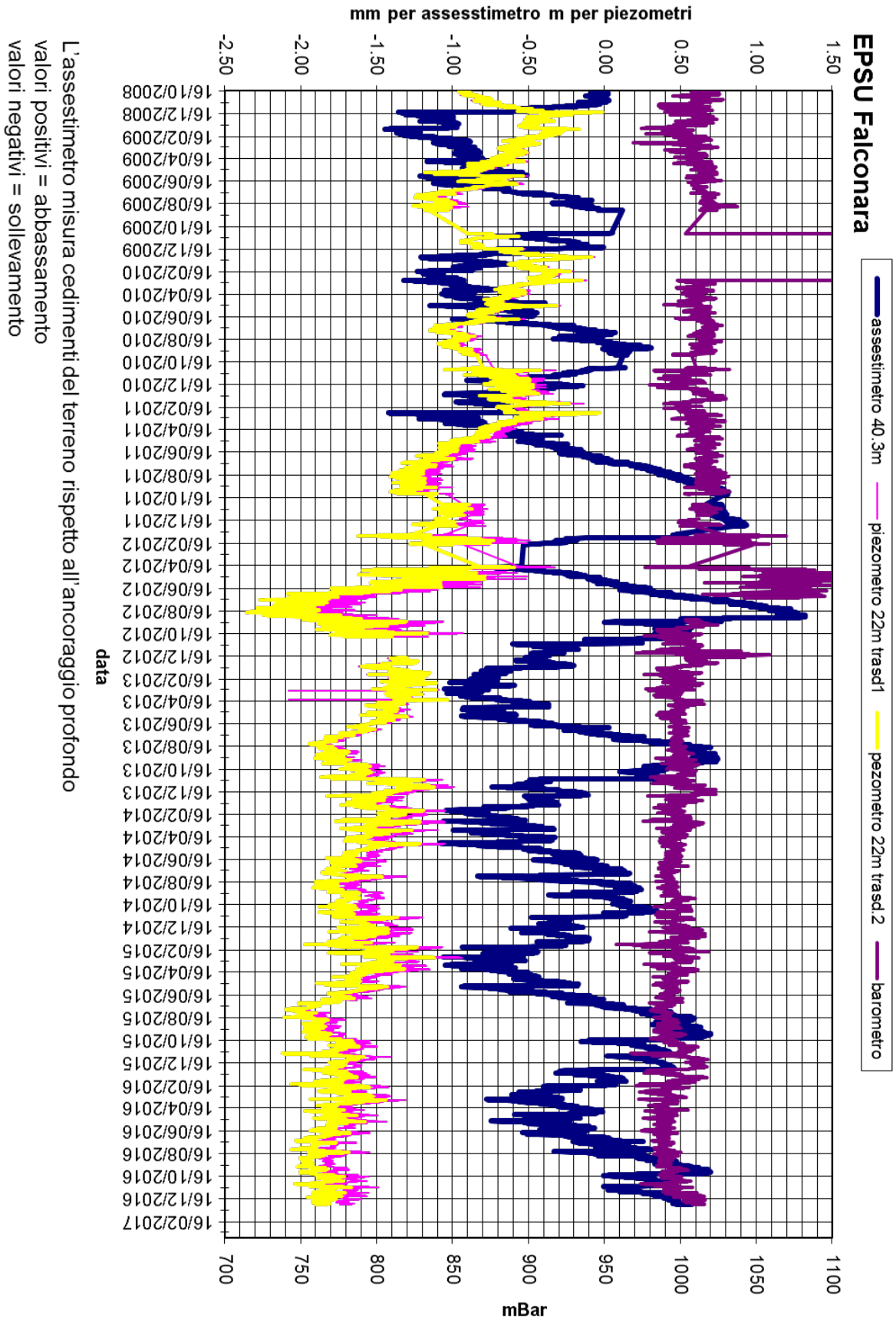
Nello stesso grafico dei dati assestimetrici si è riportata la piezometria (in m), ovvero la profondità del livello dell'acqua all'interno del tubo piezometrico riferita al piano campagna. Nello stesso grafico è riportato anche il valore della pressione barometrica.

Nel caso di Falconara il livello della falda è risultato molto alto, circa 1,3 m da p.c. Dato che si sono utilizzati 2 trasduttori di pressione - uno per ogni canna del piezometro Casagrande - si è in grado di controllare l'attendibilità delle misure.

Nel dicembre del 2016 si è fatta la manutenzione dei piezometri. In tale occasione si è misurato manualmente con un freatometro il livello della falda per verificare la qualità delle misure registrate dai trasduttori. Le differenze riscontrate sono risultate sempre molto piccole, dell'ordine di 2-3 cm, per cui i piezometri sono da considerarsi affidabili e funzionanti.

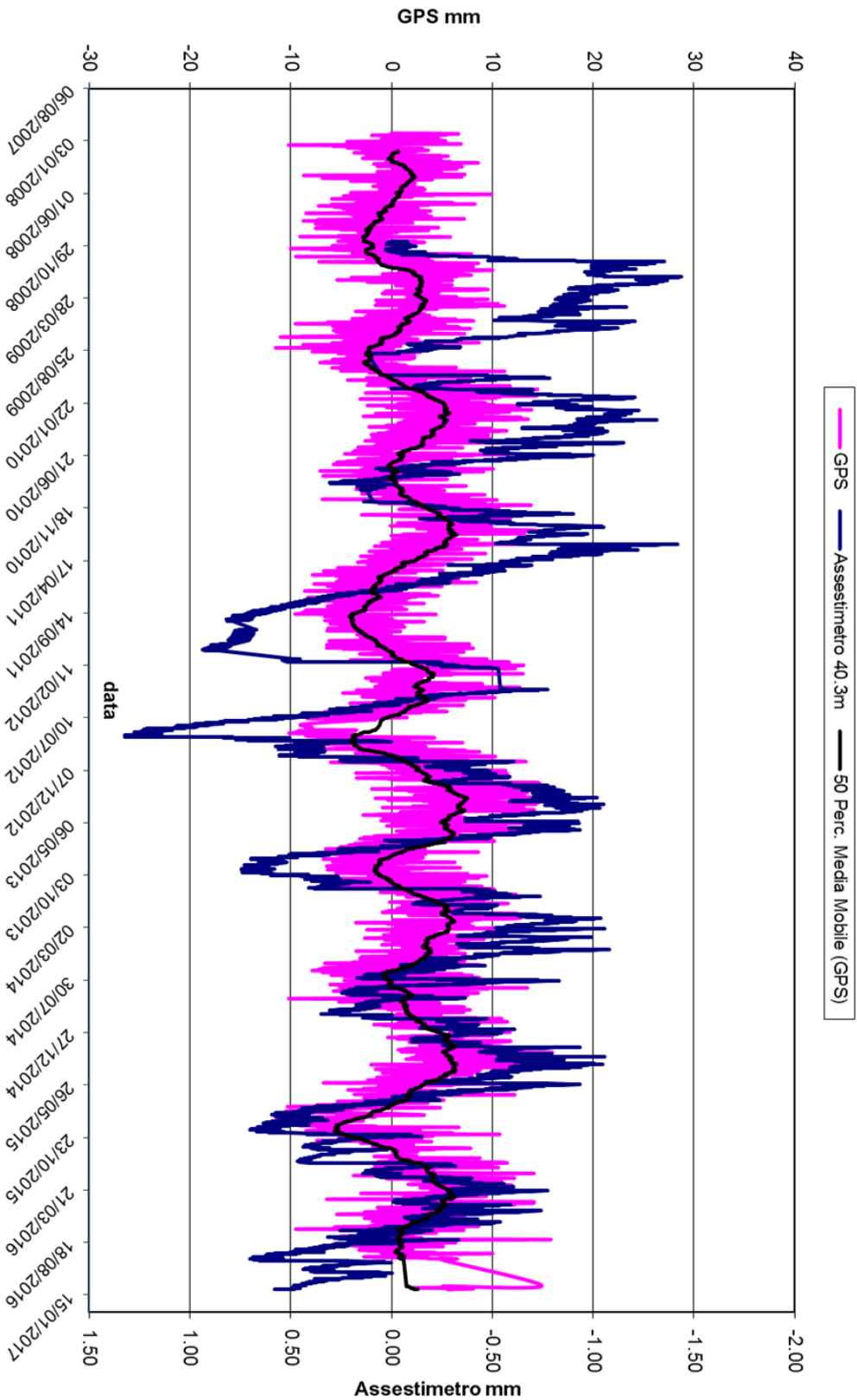








FALCONARA - Confronto GPS ed assestimetro superficiale



Nel grafico per meglio apprezzare le modulazioni della curva GPS questa è stata filtrata con una media mobile su 50 campioni. Per comodità la curva assestimetrica è stata graficata con i valori in ordine inverso, in modo da renderla coerente con le modulazioni del GPS (spostamenti delle curve verso l'alto indicano sollevamenti del terreno e viceversa)



Stazione EPSU di FANO (installata ottobre 2008)

Strumentazione:

- assestimetro - quota bottom: 40,8 m da p.c.
- piezometro a cella singola: quota cella 6,1 m da p.c.

La raccolta dati di questa stazione è iniziata il 16 ottobre 2008. A tale data (in occasione del collaudo) è stato fatto “lo zero” per tutti i sensori di misura.

L’acquisizione dati è stata fatta con regolarità secondo la seguente frequenza:

- 16 ottobre 2008 - 18 maggio 2009 una misura ogni ora,
- 19 maggio 2009 - 31 dicembre 2016 una misura ogni 6 ore.

Nel periodo monitorato (10/2008 – 12/2016) non si sono notate anomalie né a livello sensoristico, né a livello di apparecchiatura d’acquisizione dati.

L’ultimo controllo generale della strumentazione, con misure manuali dei livelli piezometrici e taratura di tutti i sensori, è stato fatto nel dicembre 2016.

Analisi dei dati assestimetrici

L’assestimetro misura la compattazione degli strati di terreno compresi tra la superficie (p.c.) e il punto più profondo d’ancoraggio dello strumento (40,8 m da p.c.).

Nei grafici allegati sono riportati per un confronto sia i dati piezometrici, sia quelli assestimetrici. I dati relativi all’assestimetro sono espressi in millimetri e riportano gli spostamenti misurati rispetto a un valore base iniziale (“misura di zero”). Tale misura è quella del 16 ottobre 2008, data di collaudo del sistema. Valori positivi degli spostamenti nel grafico dell’assestimetro indicano, quindi, una compattazione e, viceversa, valori negativi un incremento dello spessore (i.e. espansione) degli strati di terreno monitorati.

Sin dall’inizio della sua installazione, lo strumento non ha mai fatto registrare significative variazioni di spessore (compattazioni o espansioni) della porzione di terreno monitorato. Tali escursioni - cicliche stagionali - sono dell’ordine di ± 1 mm, con una punta massima di



compattazione di circa 1,5 mm registrata all'inizio del 2012.

La curva assestimetrica, inoltre, si correla bene con l'andamento del livello della falda acquifera monitorata dal piezometro a 6 m dal piano campagna, anche se con uno sfasamento temporale (ritardo) di qualche mese.

Nel corso del 2016 si è assistito a un ciclo simile agli anni precedenti, senza significative variazioni; una compattazione di circa 1 mm a inizio anno è stata quasi del tutto recuperata da una successiva espansione estiva, per attestarsi poi intorno a circa 1 mm (nuova compattazione) a fine anno.

In questi primi cicli, quindi, le misure di questa stazione, analogamente a quelle di Falconara, mostrano una situazione del terreno sostanzialmente stabile, con una compattazione complessiva pressochè nulla: si è registrato, infatti, circa di 1 mm di compattazione in poco più di 8 anni di osservazione.

Un comportamento del terreno pressoché identico è registrato dal CGPS ubicato in prossimità della stazione EPSU. Tali misure danno, infatti, la superficie del suolo in leggero innalzamento con velocità media di ca. 0,45 mm/a. A sua volta la velocità media di compattazione stimata con regressione lineare dei dati della serie assestimetrica è praticamente nulla. L'esame comparato delle due serie di misure (assestimetriche e geodetiche GPS) mostra come queste abbiano gli stessi andamenti oscillatori ma sfasati nel tempo. In particolare la curva assestimetrica sembra essere ritardata di ca. 4-5 mesi rispetto a quella geodetica. E' bene osservare, però, che si tratta di movimenti del suolo di bassissima entità, per cui si è al limite del potere risolutivo delle due tecniche di misura.

Passando al confronto con la piezometria, si nota che entrambe le curve - assestimetrica e geodetica GPS - mostrano una certa correlazione con gli andamenti stagionali della falda.

La curva assestimetrica si presenta, però, sfasata anche rispetto a quella piezometrica, raggiungendo il minimo circa tre mesi dopo il massimo del livello piezometrico. Questo comportamento potrebbe essere spiegato dal ritardo con cui si contrae o rigonfia un grosso strato d'argilla (ca. 32 m) quando varia la sua saturazione in acqua. La presenza di tale strato d'argilla è stata rilevata durante la perforazione del foro assestimetrico.

La curva dei dati GPS sembra invece più in fase con le variazioni del livello d'acqua nella falda. Va però notato che l'ubicazione dell'antenna CGPS (stazione SSU) dista circa 150-



200 m dalla stazione EPSU, e probabilmente il terreno su cui è stata installata ha una stratigrafia caratterizzata da una minore presenza di livelli argillosi.

Si segnala, inoltre, che per comodità di lettura del grafico:

- le misure del CGPS sono state filtrate con una media mobile su 50 campioni per meglio evidenziarne l'andamento;
- i valori della curva assestimetrica sono stati riportati in ordine inverso, così da renderne l'andamento coerente quello della curva GPS (spostamenti delle curve verso l'alto indicano sollevamenti del terreno e viceversa).

Analisi dei dati piezometrici

Nello stesso grafico dei dati assestimetrici si è riportata la piezometria (in m), ovvero la profondità del livello dell'acqua all'interno del tubo piezometrico riferita al piano campagna. Nello stesso grafico è riportato il valore della pressione barometrica.

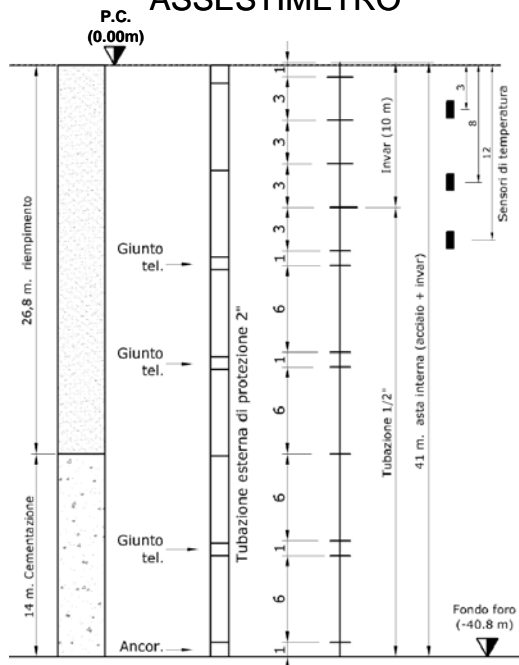
L'installazione di due trasduttori di pressione, uno per ogni canna del piezometro Casagrande, rende possibile controllare il grado di affidabilità del piezometro stesso. In questo caso la differenza di misura tra i due sensori è stata di circa ± 8 cm, il che rientra nella normale tolleranza dello strumento.

L'ultimo controllo generale della strumentazione, con controlli manuali dei livelli piezometrici e taratura di tutti i sensori, è stato fatto nel dicembre 2016.

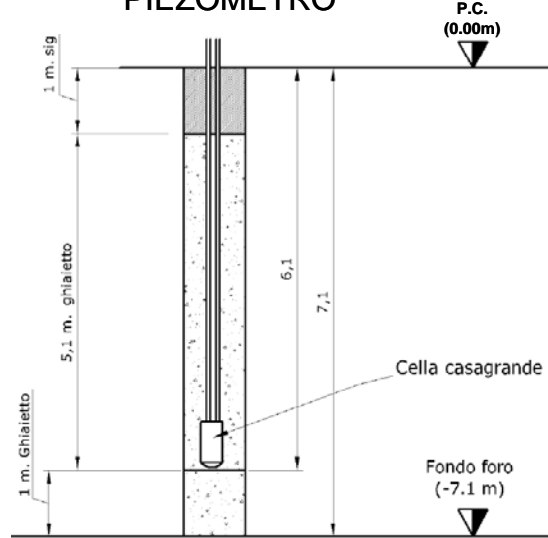


FANO

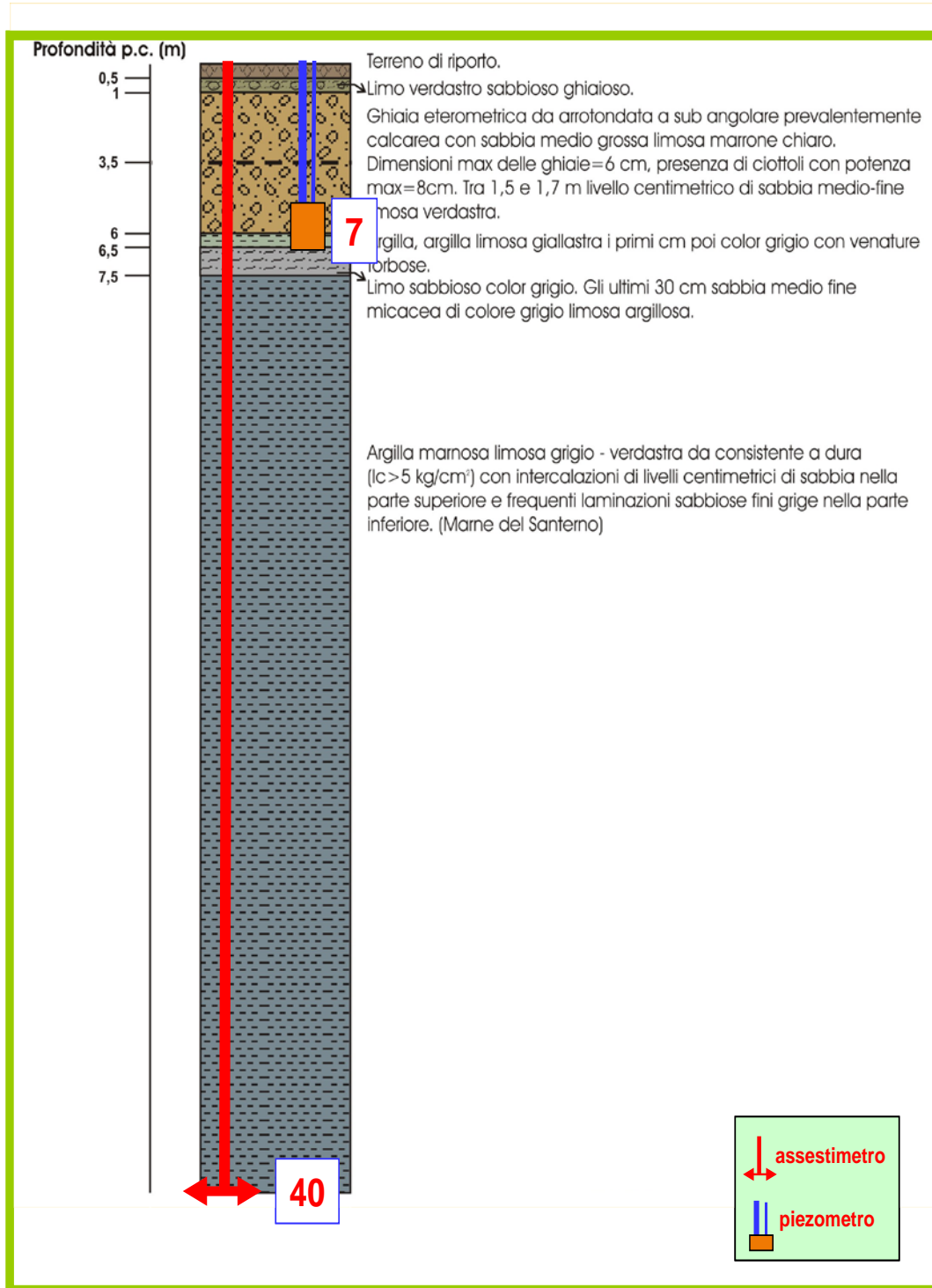
ASSESTIMETRO

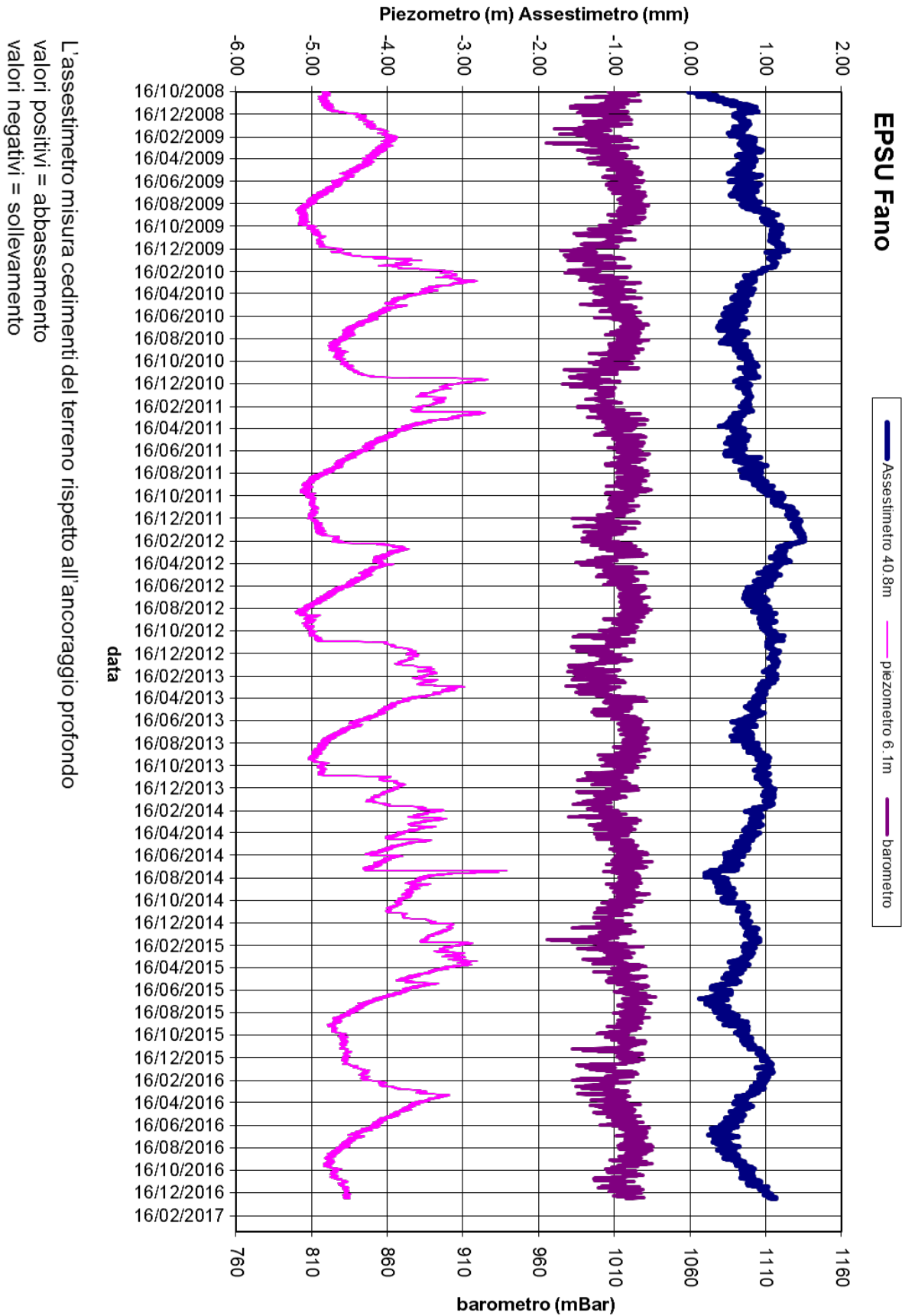


PIEZOMETRO



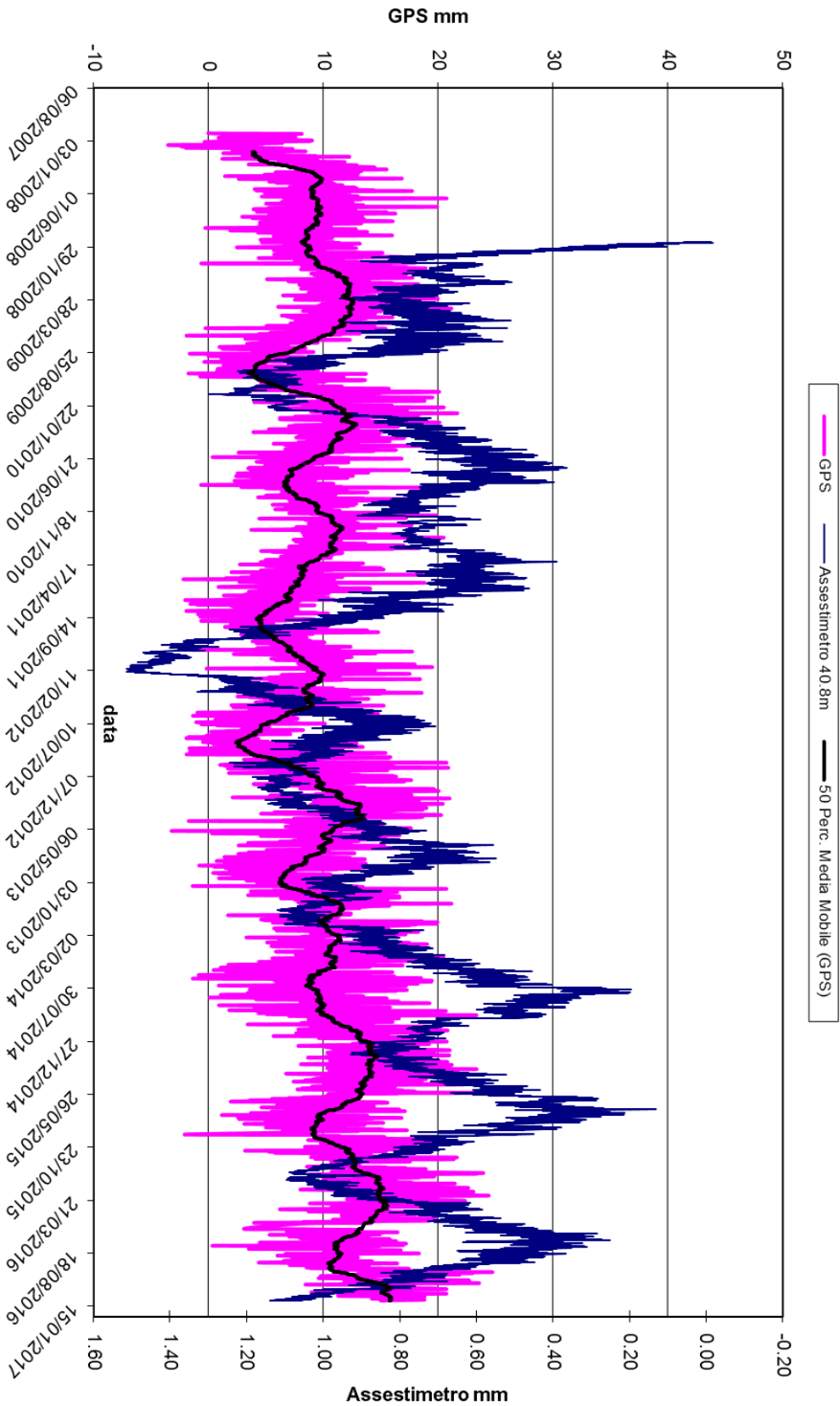
non in scala







FANO - Confronto GPS ed assestimetro superficiale



Nel grafico per meglio apprezzare le modulazioni della curva GPS questa è stata filtrata con una media mobile su 50 campioni. Per comodità la curva assestimetrica è stata graficata con i valori in ordine inverso, in modo da renderla coerente con le modulazioni del GPS (spostamenti delle curve verso l'alto indicano sollevamenti del terreno e viceversa)



Conclusioni

Dall'insieme dei dati sino ad ora raccolti nelle 3 stazioni EPSU si nota, in generale, una buona correlazione tra l'andamento stagionale della piezometrica e la compattazione del terreno misurata dagli assestimetri.

Tale correlazione è più evidente nel caso di Falconara, dove il piezometro monitora le falde superficiali più sensibili a tutte le variazioni stagionali di piovosità.

Nel caso di Rubicone le variazioni stagionali sembrano essere monitorate solo dai 2 piezometri più superficiali (CGRP-2), mentre quello più profondo (CGRP-1) registra solo deboli variazioni di livello della falda, temporalmente sfasate rispetto all'andamento stagionale delle falde superiori. L'assestimetro di questa stazione, essendo il più profondo delle 3 EPSU, è anche quello che mostra una tendenza crescente nell'insieme delle misure di compattazione, registrando complessivamente 23,3 mm d'abbassamento totale del terreno in oltre 7 anni di funzionamento.

Nel caso di Fano, il trend delle curve piezometrica e assestimetrica è maggiormente influenzato dalla litologia attraversata dai pozzi, litologia che rende meno evidente la correlazione tra andamento stagionale del livello della falda e misure assestimetriche. Infatti, mentre il piezometro monitora le variazioni di livello della falda in uno strato ghiaioso-sabbioso superficiale (max. profondità 6 m dal p.c.), l'assestimetro è ancorato alla base di uno strato argilloso spesso circa 32 m e scarsamente comprimibile: lo strumento, infatti, nei circa 8 e più anni di funzionamento ha misurato una compattazione complessiva quasi nulla (1 mm circa).

La tabella che segue riporta per ciascuna stazione la compattazione complessiva del terreno e la relativa velocità media annua, valutate semplicemente sulla base della misura assestimetrica al 31/12/2016 e degli anni complessivi di monitoraggio. In questo caso non si è fatta alcuna regressione lineare dei valori della serie storica assestimetrica. Questo procedimento potrebbe dare, pertanto, risultati non perfettamente uguali, anche se molto simili, a quelli riportati nelle precedenti analisi dei dati assestimetrici.

Si noti, altresì, che per le stazioni di Fano e Falconara le misure assestimetriche hanno valori molto piccoli, e che nel periodo d'osservazione non è emerso un trend ben definito di



compattazione del terreno. In questo caso le medie annuali non si possono considerare veramente significative.

Stazione	Anni d'osservazione	Assestimetro profondo		Assestimetro superficiale	
		Compattazione complessiva (mm)	Velocità (mm/a)	Compattazione complessiva (mm)	Velocità (mm/a)
Rubicone	7,75	23,3	3,0	-	-
Fano	8,21	-	-	1,1	-
Falconara	8,21	-	-	0,4	-